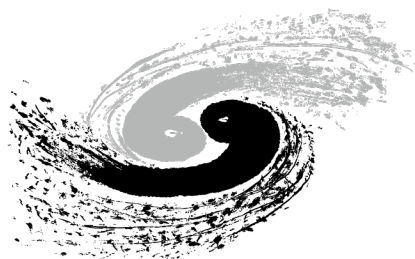


# 超导探测器的研发及应用

闫代康

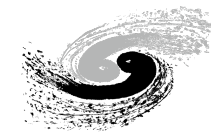
2025-09



中国科学院高能物理研究所

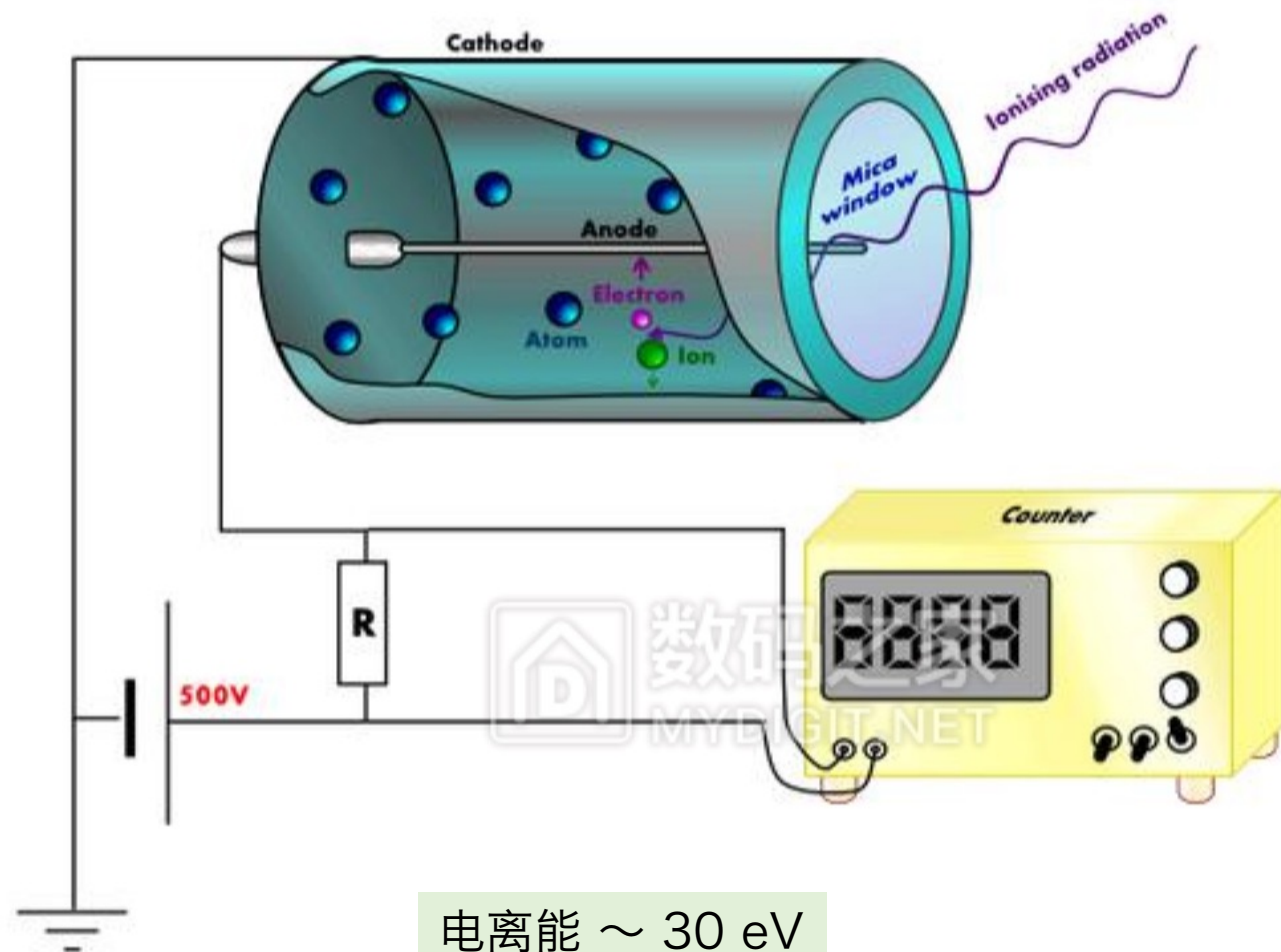
*Institute of High Energy Physics, Chinese Academy of Sciences*

# 光子探测器：第一代 气体探测器 1920s



中国科学院高能物理研究所

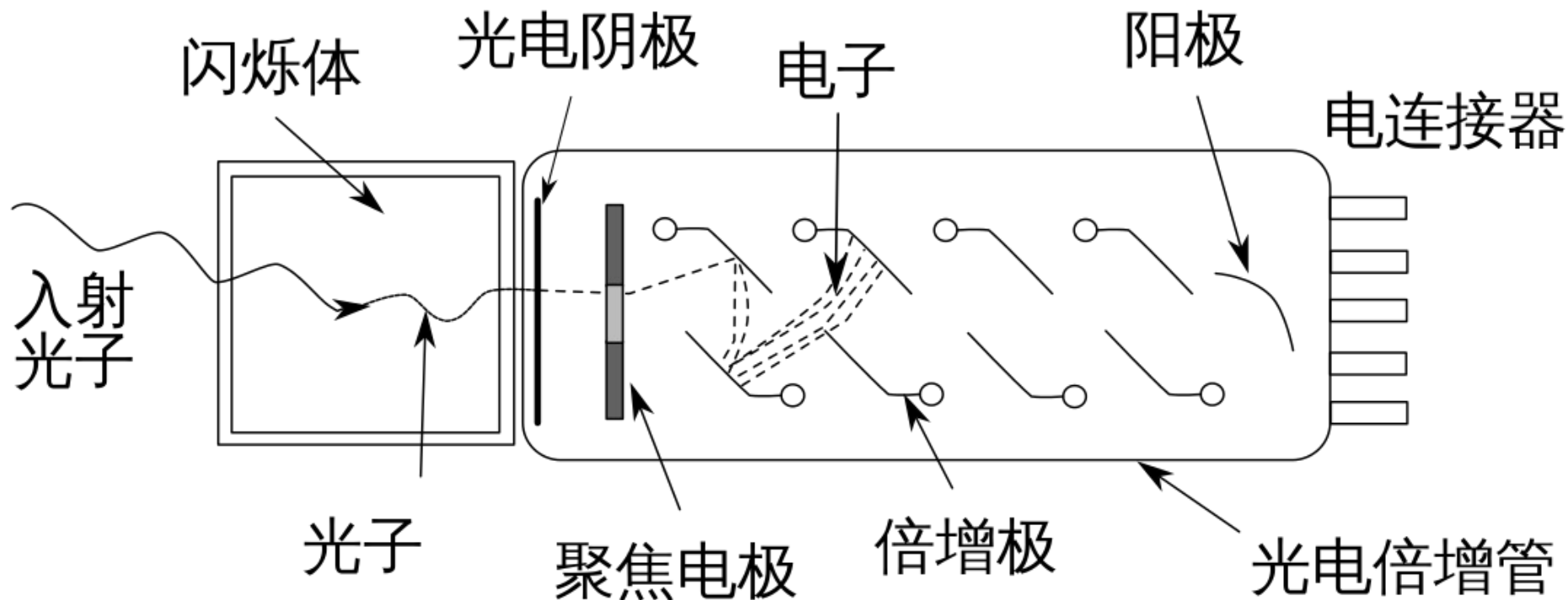
Institute of High Energy Physics, Chinese Academy of Sciences



# 光子探测器：第二代 闪烁体探测器 1940s



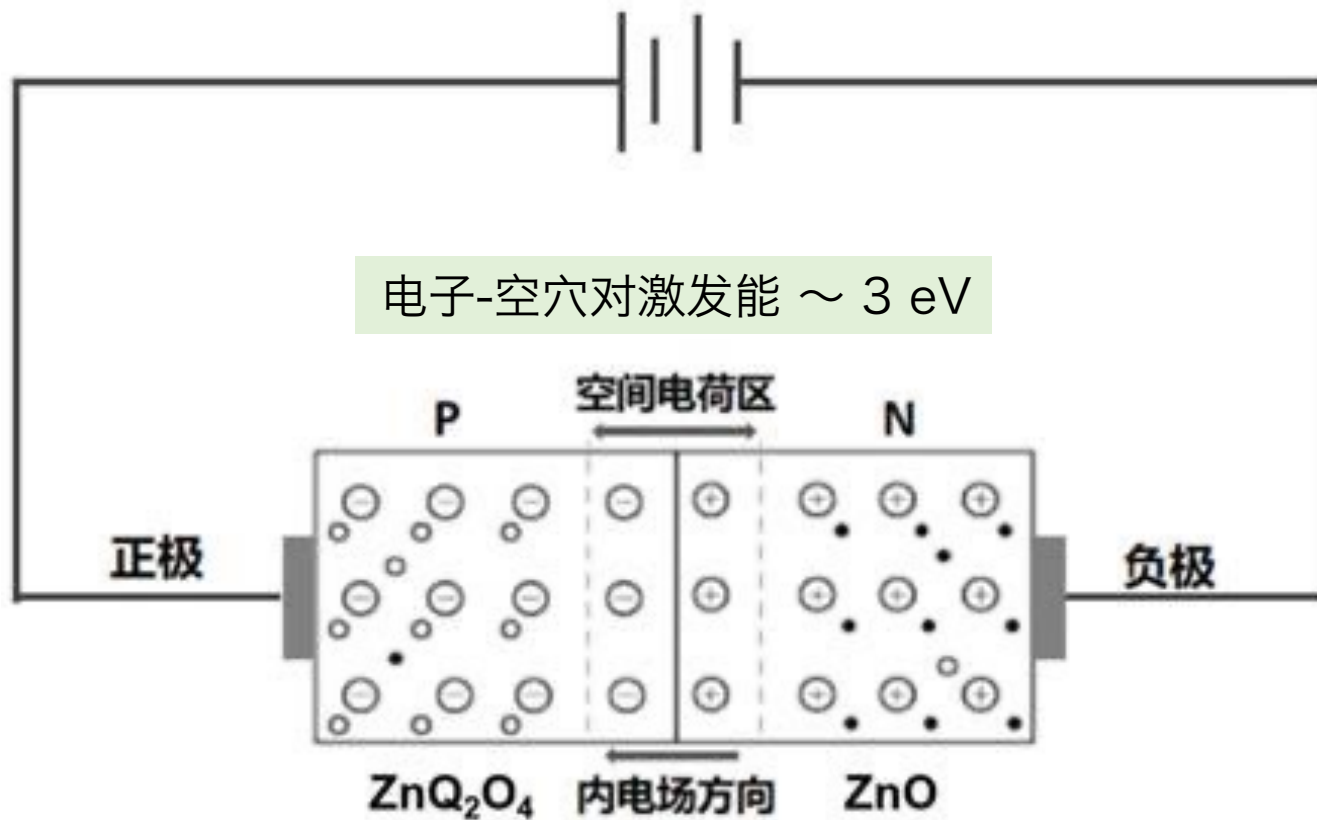
中国科学院高能物理研究所  
Institute of High Energy Physics, Chinese Academy of Sciences



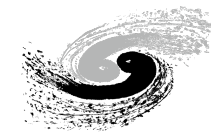
离子激发能  $\sim 20$  eV  
光子能量  $\sim 3$  eV

能量分辨率  $E/\Delta E \sim 15$

# 光子探测器：第三代 半导体探测器 1950s



能量分辨率  $E/\Delta E \sim 50$



## 半导体探测器

光子



激发能  $\sim$  eV

VS.

## 超导体探测器

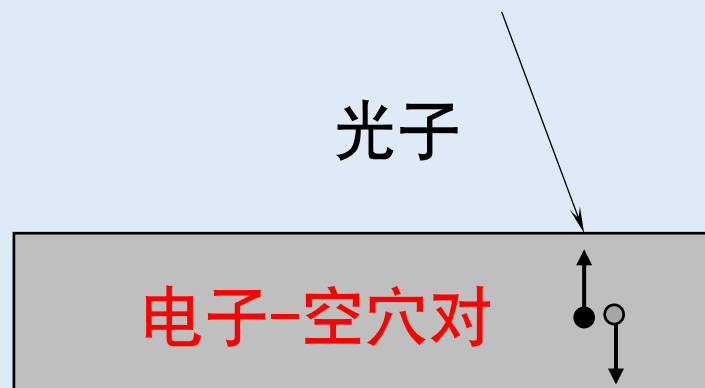
光子



激发能  $\sim$  meV

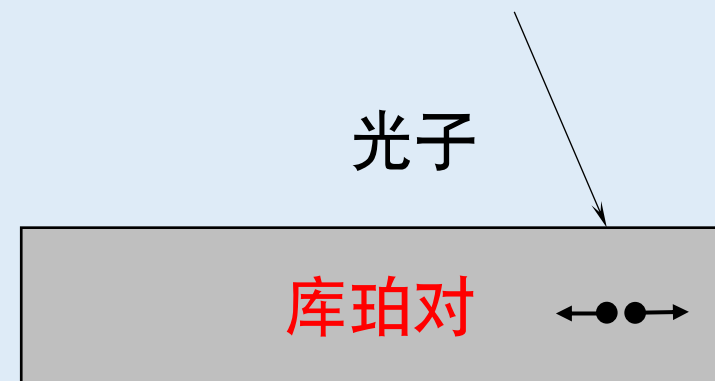
# 光子探测器：第四代 超导体探测器 1990s

## 半导体探测器



VS.

## 超导体探测器



10 keV

半导体:  $10^4$ 个电子空穴对  
超导体:  $10^7$ 个库珀对

粒子涨落噪声 =  $1/\sqrt{N}$

半导体: 0.01  $\rightarrow$  分辨率 100 eV  
超导体: 0.0003  $\rightarrow$  分辨率 3 eV

# 超高分辨率意味着什么

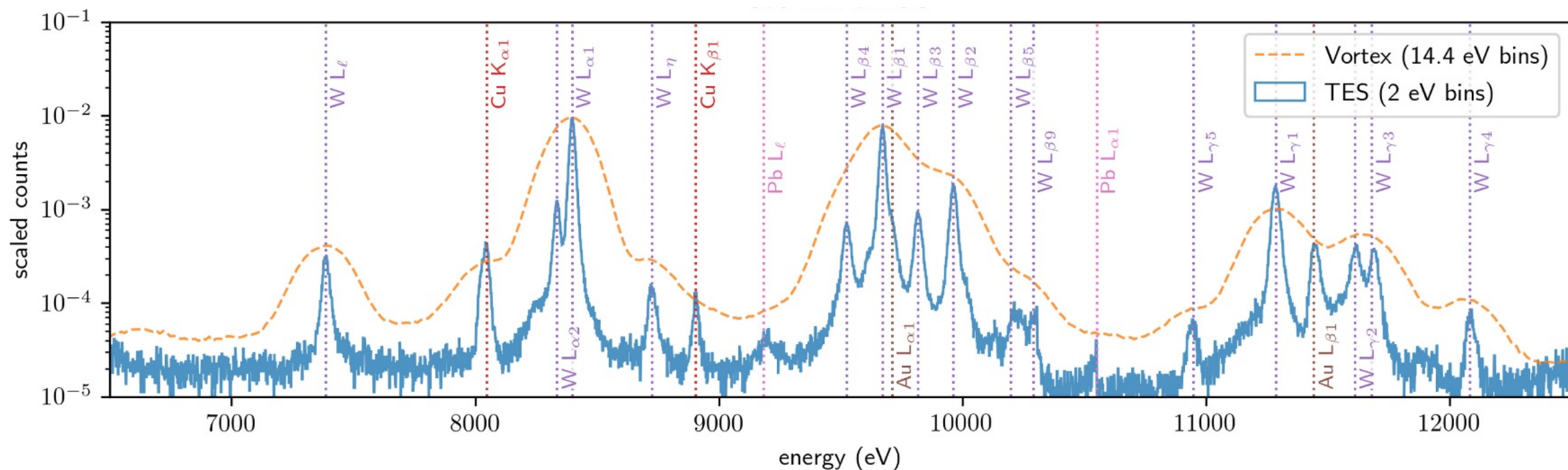
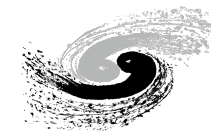


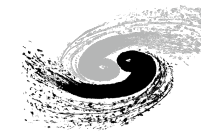
Fig. 3. Fluorescence spectra of a 350 nm CMOS integrated circuit chip, measured with a TES sensor (blue solid line) and a Vortex silicon-drift detector (orange dashed line). Prominent peaks are labeled with their corresponding element and line name.

Tejas Guruswamy et al. (2021)

硅探测器  $\Delta E = 130 \text{ eV}$

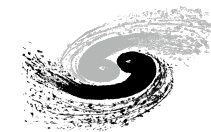
超导探测器  $\Delta E = 12 \sim 15 \text{ eV}$

# 超导探测器概览

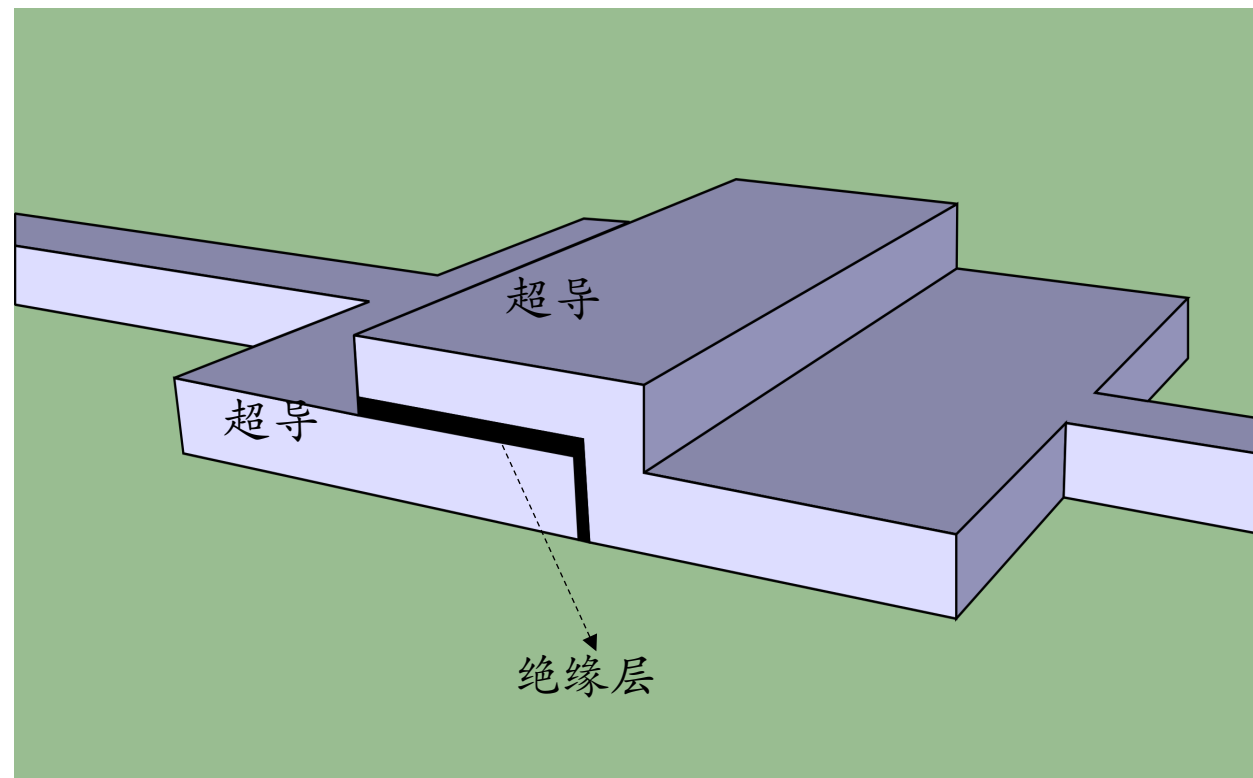


	superconducting tunnel junction (STJ) 超导隧穿结	kinetic inductance detectors (KID) 动态电感探测器	metallic magnetic calorimeter (MMC) 金属磁性量热器	transition-edge sensor (TES) 超导转变边沿探测器
原理	隧穿电流大小正比于光子激发的准粒子数	准粒子密度变化影响超导LC电路的共振频率	顺磁材料中磁通量的变化	光子热效应引发电阻变化
能量分辨率 (软X射线)	~ 10 eV	几十eV	~ 1eV	~1eV
能量分辨率 (硬X射线)	材料过薄，X射线吸收率低	目前没有开发	40 eV @ 60 keV	5 eV @ 17 keV
最大优势	计数效率极高： $10^4$ /秒	方便大阵列复用	能量分辨率高； 能量覆盖范围大	能量分辨率高； 复用技术较为成熟
主要短板	能量分辨率略差； 能量上限低	能量分辨率低； 能量上限低	复用发展不成熟	能量覆盖范围小于 MMC

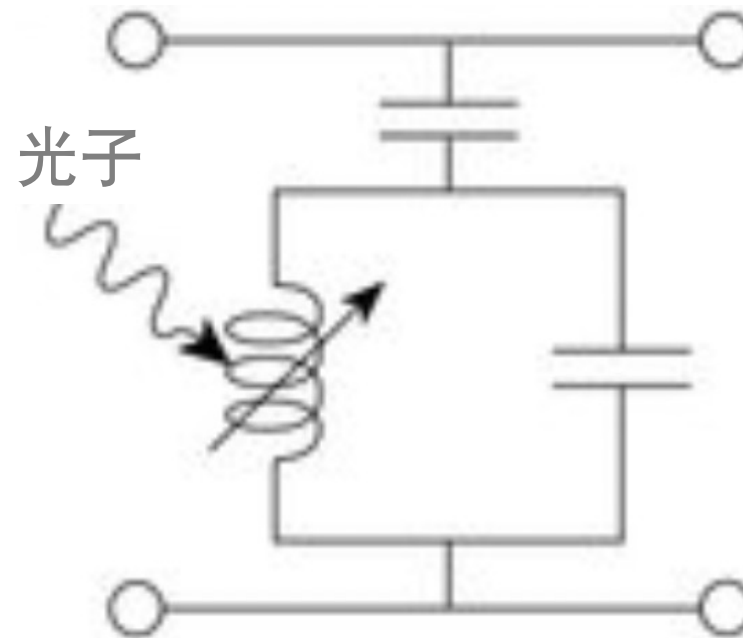
# 超导探测器概览



	superconducting tunnel junction (STJ) 超导隧穿结
原理	隧穿电流大小正比于光子激发的准粒子数
能量分辨率 (软X射线)	$\sim 10$ eV
能量分辨率 (硬X射线)	材料过薄, X射线吸收率低
最大优势	计数效率极高: $10^4$ /秒
主要短板	能量分辨率略差; 能量上限低



	kinetic inductance detectors (KID) 动态电感探测器
原理	准粒子密度变化影响超导LC电路的共振频率
能量分辨率 (软X射线)	几十eV
能量分辨率 (硬X射线)	目前没有开发
最大优势	方便大阵列复用
主要短板	能量分辨率低； 能量上限低



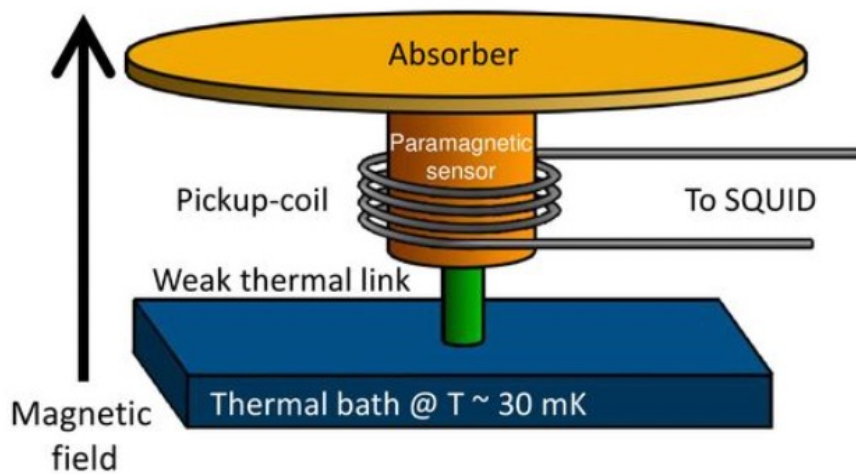
原理

能量分辨率  
(软X射线)

能量分辨率  
(硬X射线)

最大优势

主要短板



metallic magnetic  
calorimeter  
(MMC)  
金属磁性量能器

顺磁材料中磁通量的变化

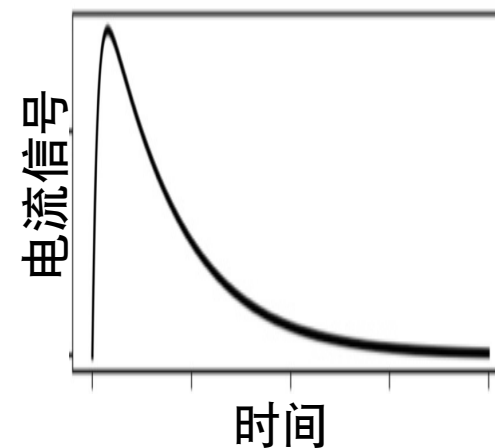
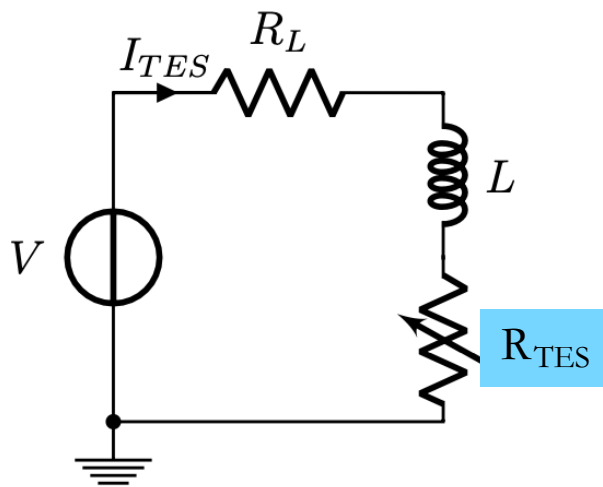
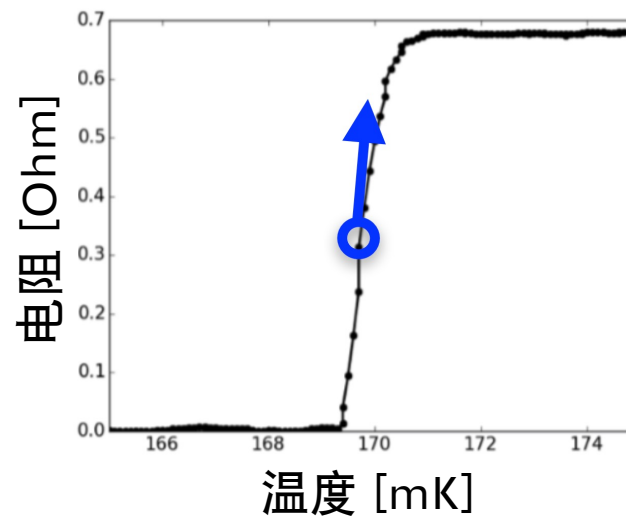
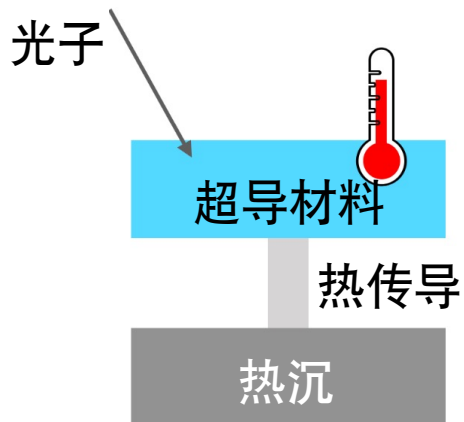
$\sim 1\text{eV}$

40 eV @ 60 keV

能量分辨率高；  
能量覆盖范围大

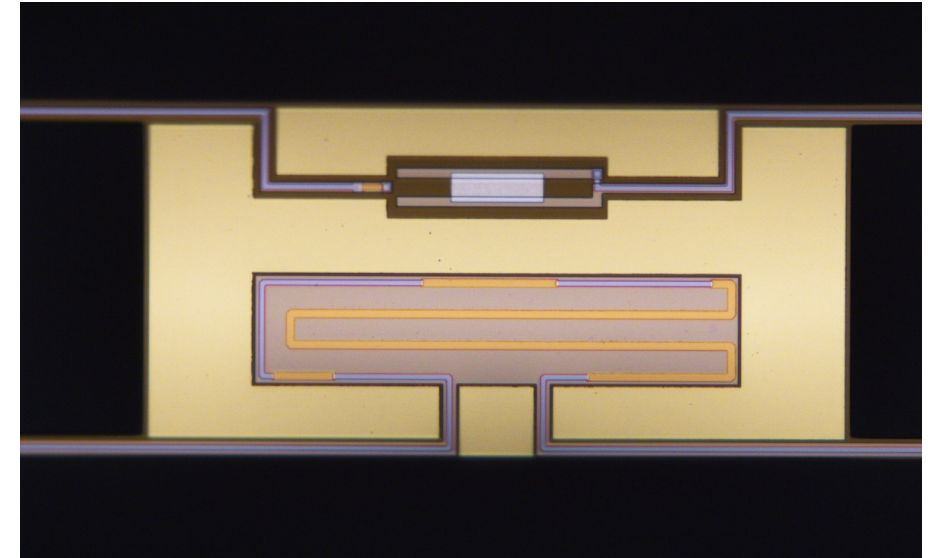
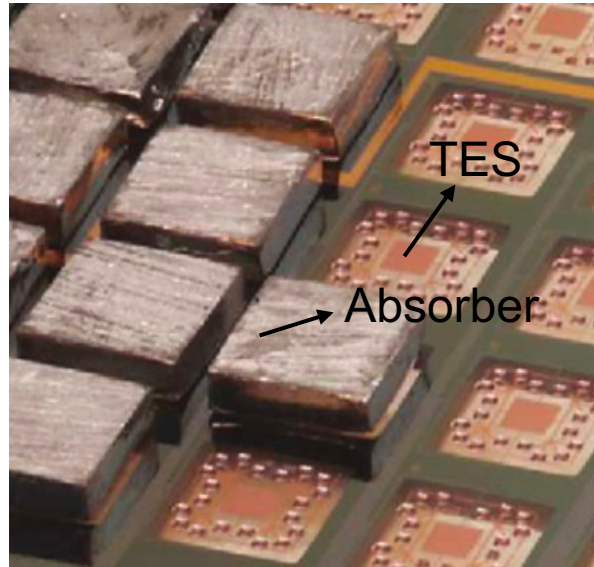
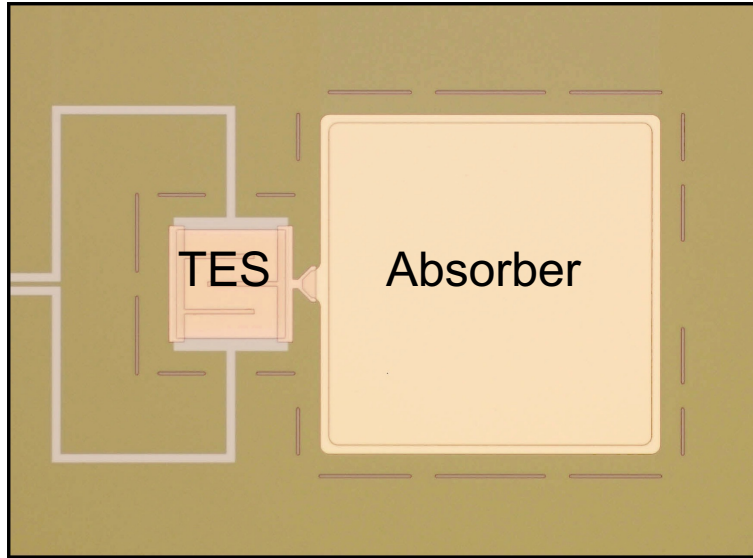
复用发展不成熟

原理
能量分辨率 (软X射线)
能量分辨率 (硬X射线)
最大优势
主要短板



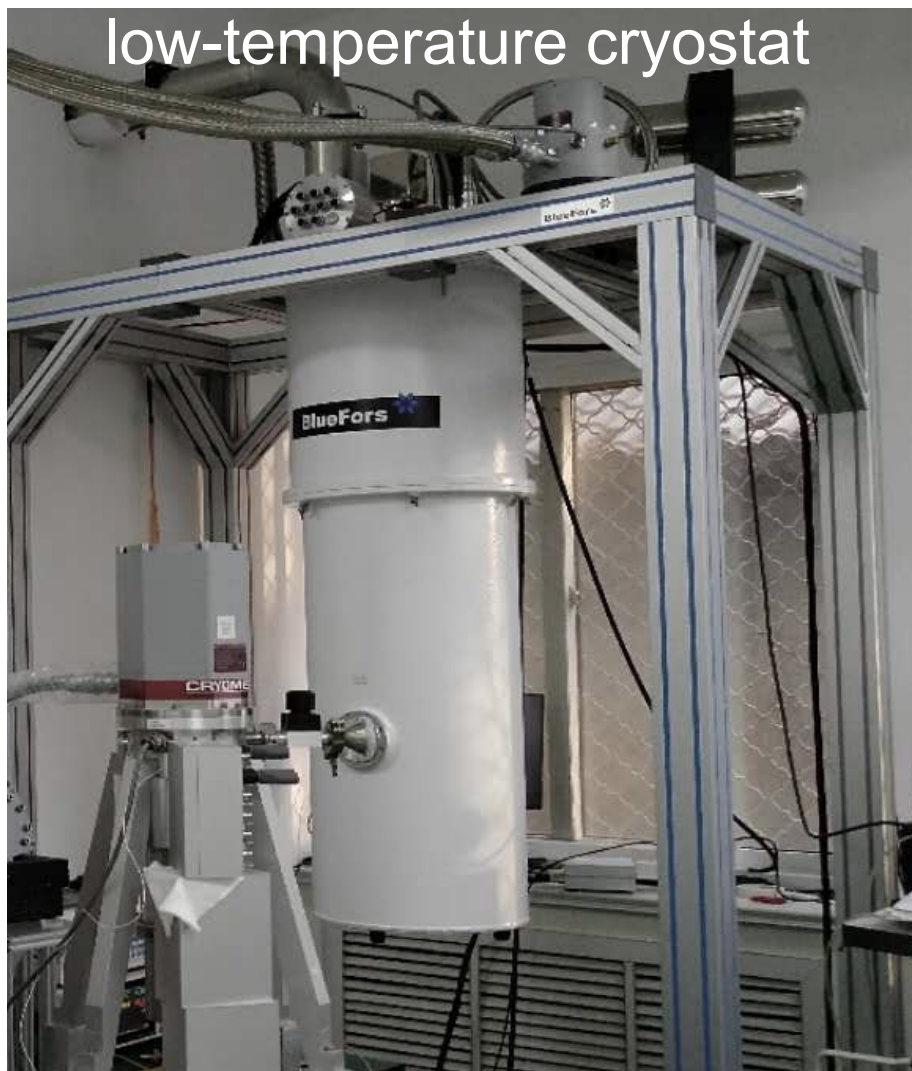
transition-edge sensor (TES) 超导转变边沿探测器
光子热效应引发电阻 变化
~1eV
5 eV @ 17 keV
能量分辨率高； 复用技术较为成熟
能量覆盖范围小于 MMC

# TES: Transition-Edge Sensor

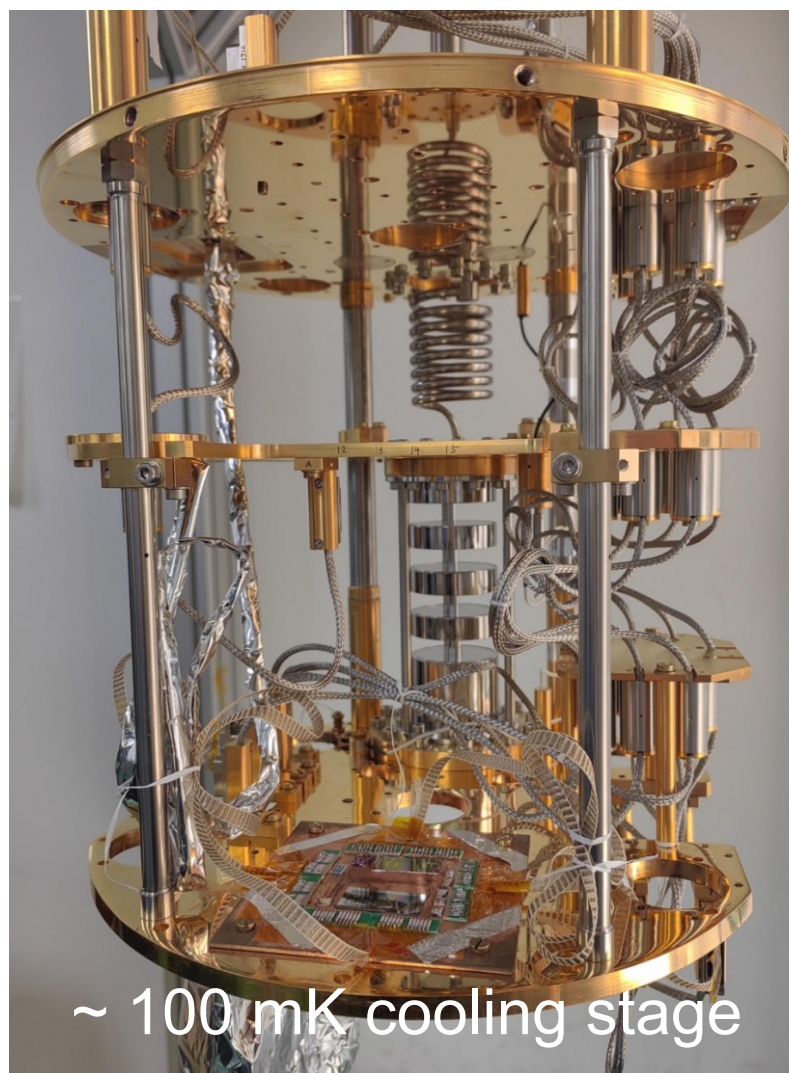
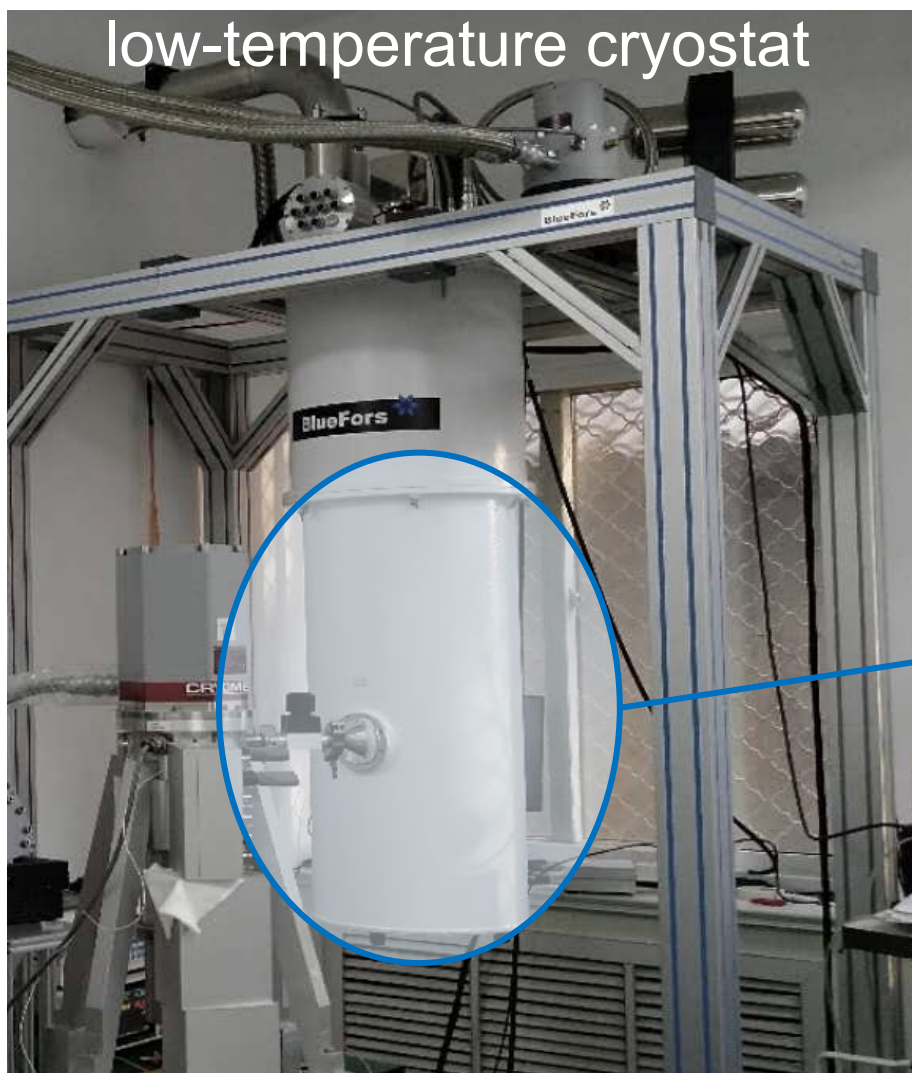
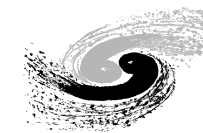


Bennett *et al.* Rev. Sci. Instrum. **83**, 093113 (2012)

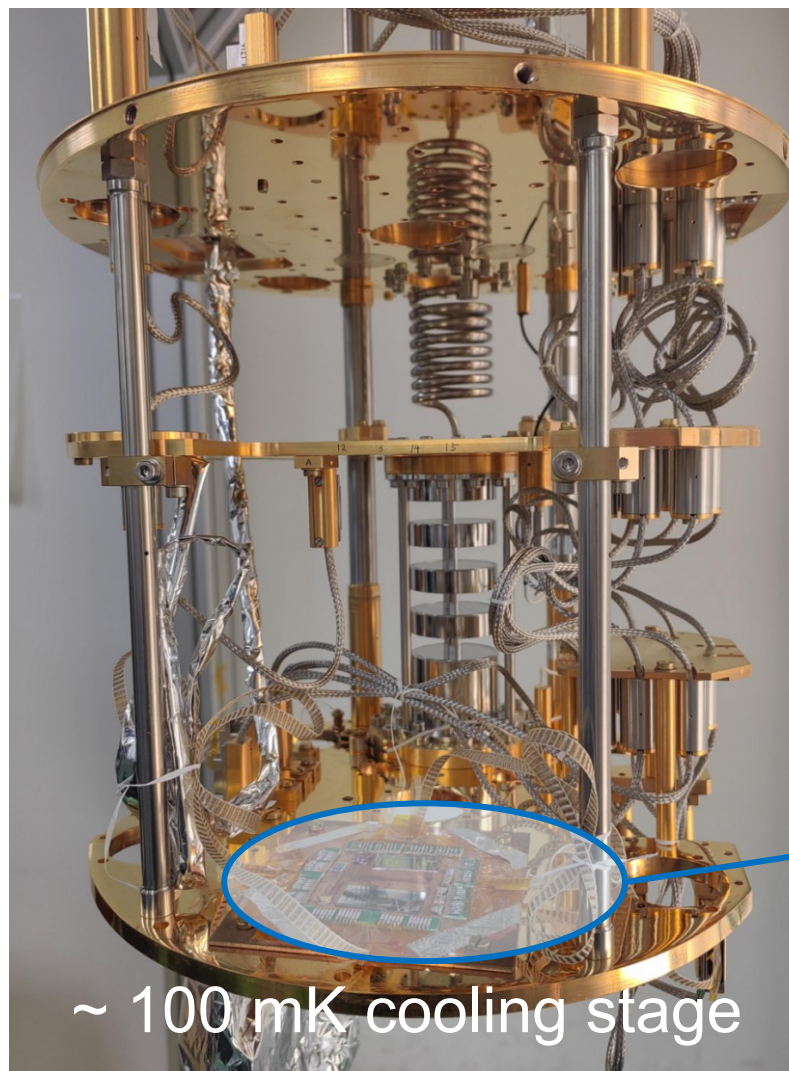
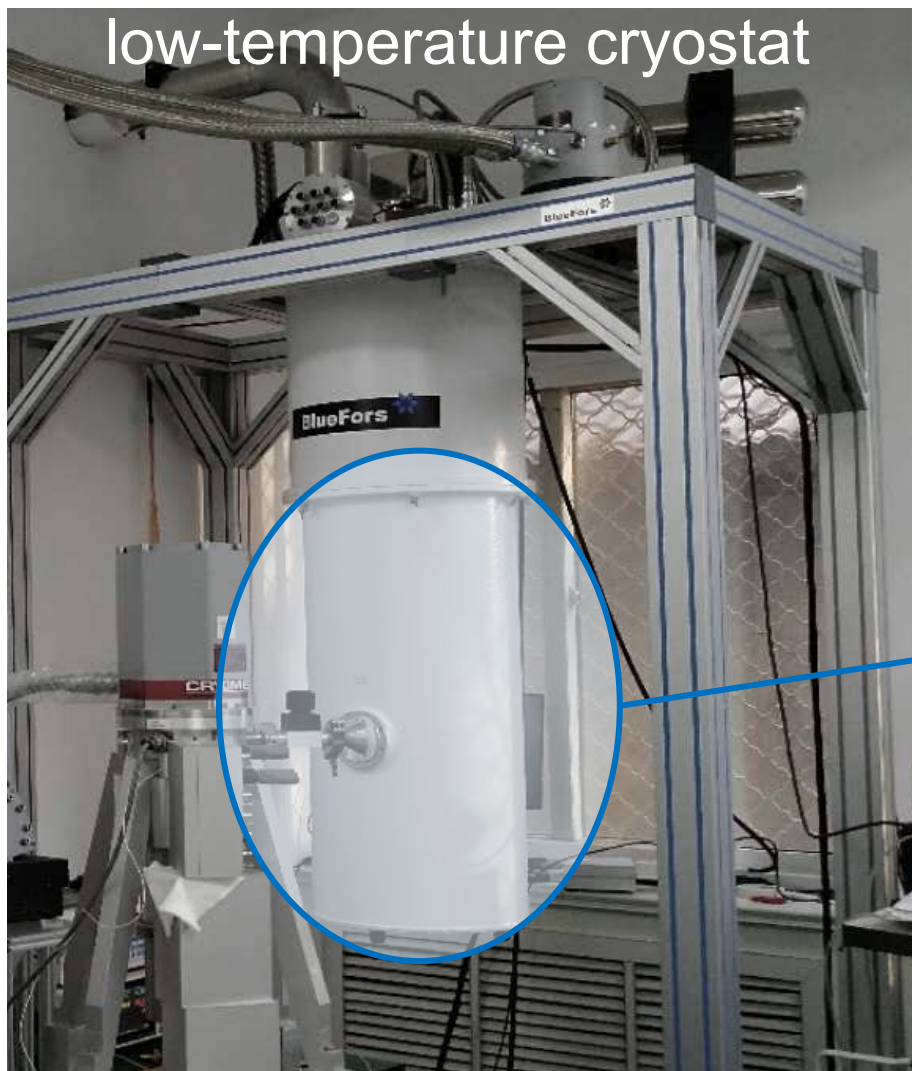
# TES: Transition-Edge Sensor



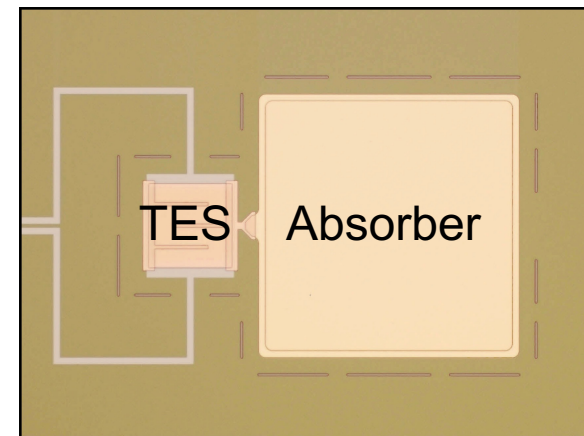
# TES: Transition-Edge Sensor



# TES: Transition-Edge Sensor



~ 100 mK cooling stage

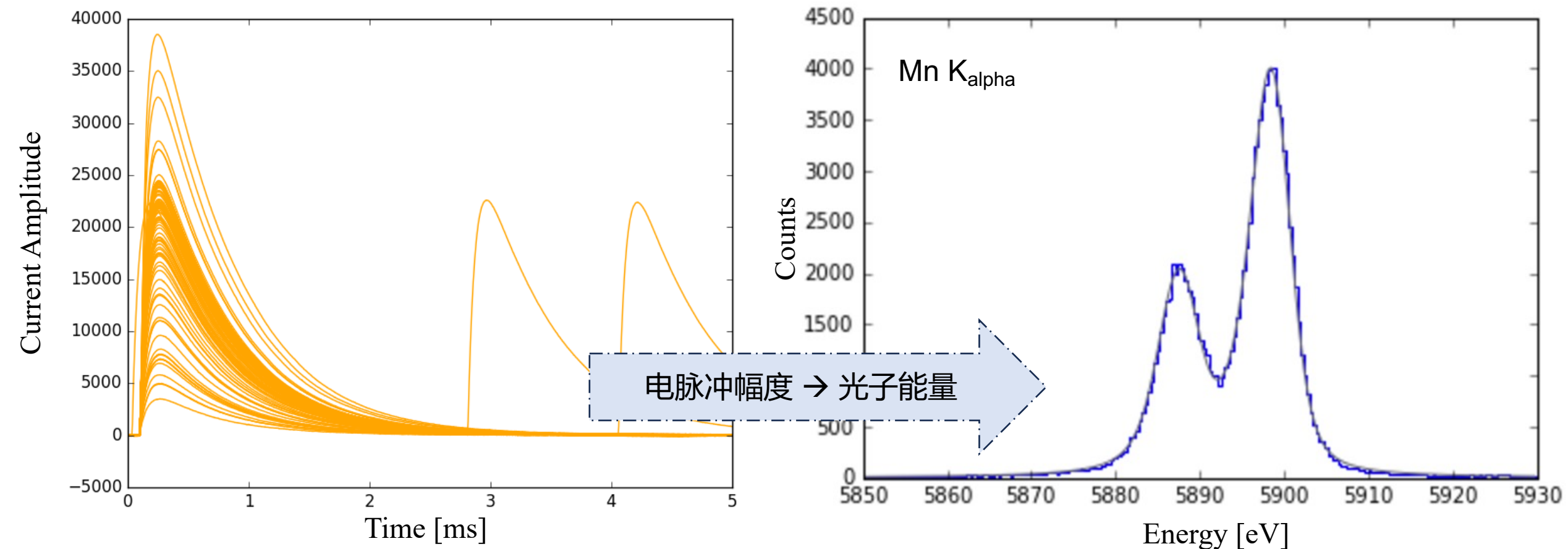


# TES测量光子能量



中国科学院高能物理研究所

Institute of High Energy Physics, Chinese Academy of Sciences



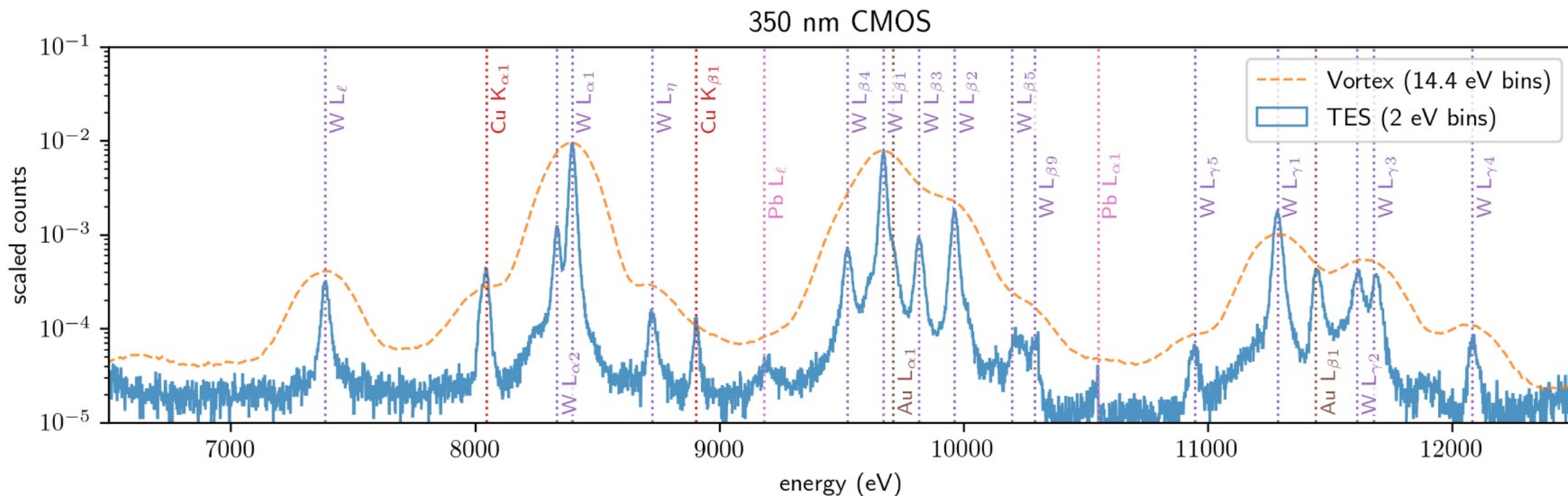
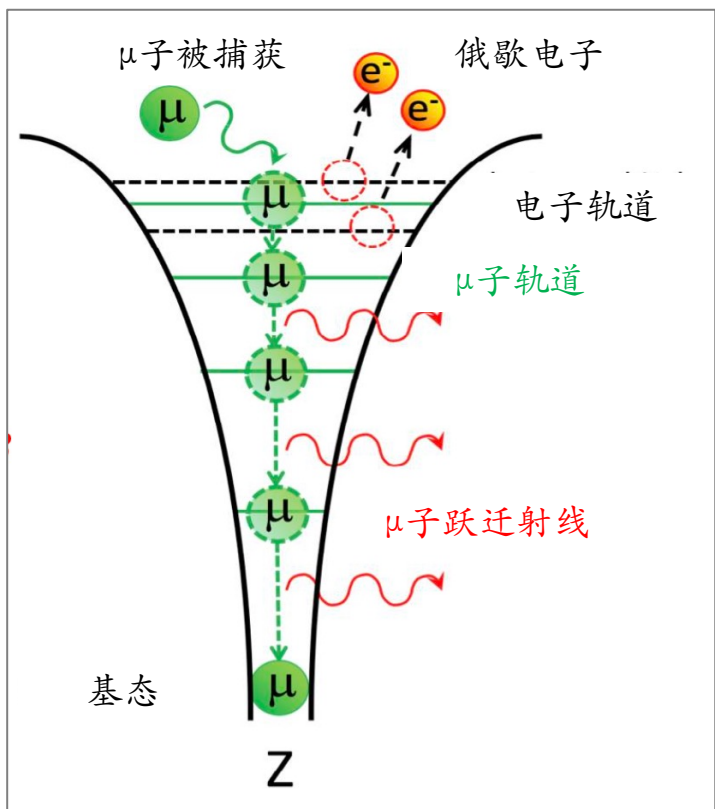


Fig. 3. Fluorescence spectra of a 350 nm CMOS integrated circuit chip, measured with a TES sensor (blue solid line) and a Vortex silicon-drift detector (orange dashed line). Prominent peaks are labeled with their corresponding element and line name.

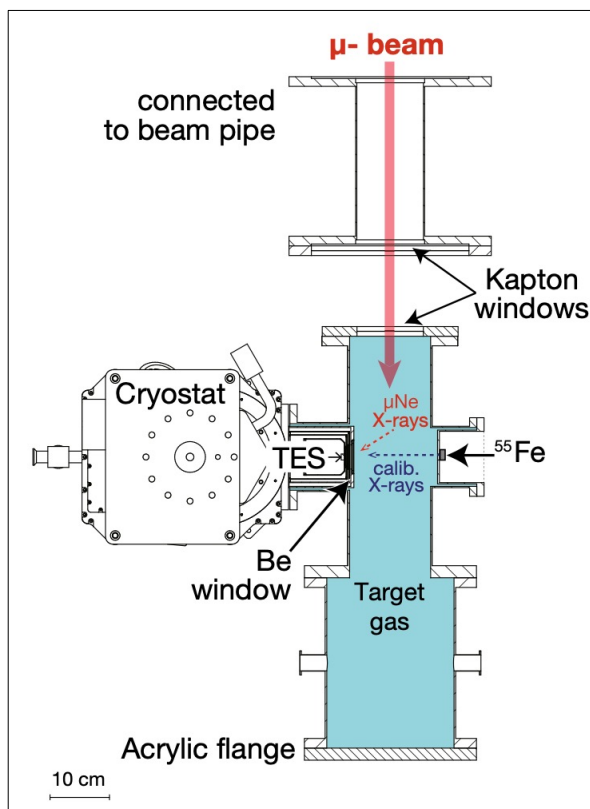
Tejas Guruswamy et al. (2021)

✓ 临近谱线

✓ 微含量元素



Picture credit: T. Okumura, RIKEN



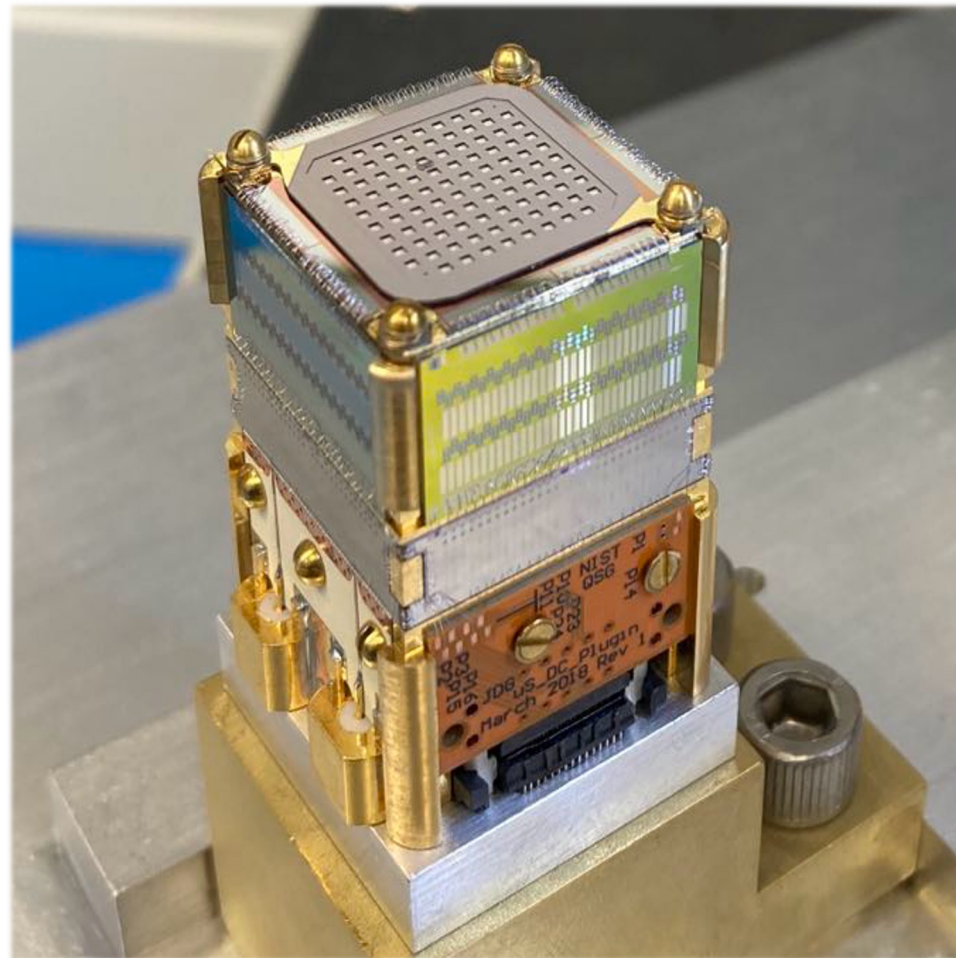
## 实验要求:

1. 为避免 $\mu$ 原子被周围的电子重新填充, 靶气体非常稀薄, 最终的出光量非常少

→ 晶体能谱仪太慢

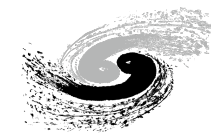
2. 能量分辨率最好能 $<100\text{eV}$

→ 半导体能谱仪不能满足要求



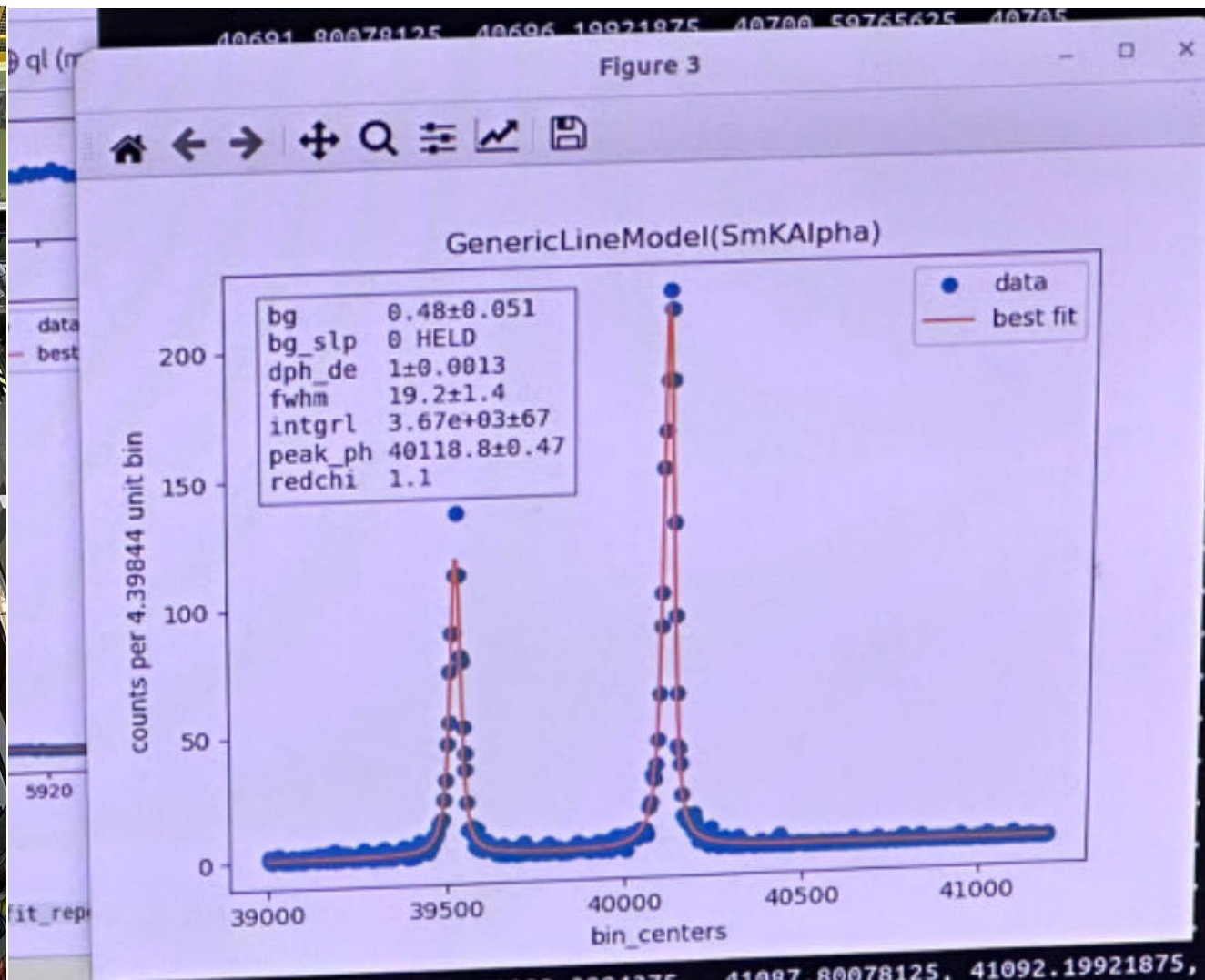
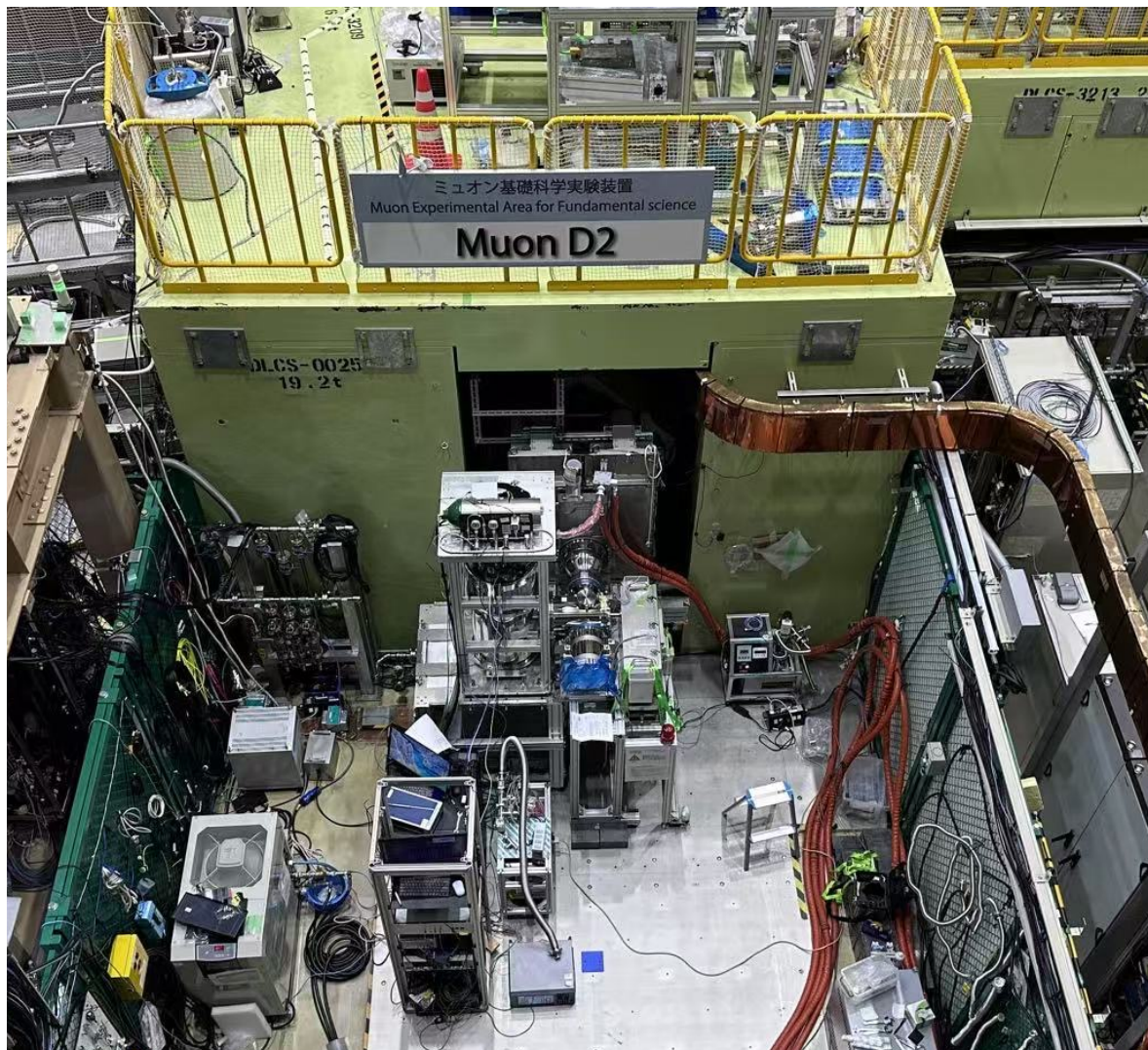
2022 at NIST

# 应用二：QED



中国科学院高能物理研究所

Institute of High Energy Physics, Chinese Academy of Sciences



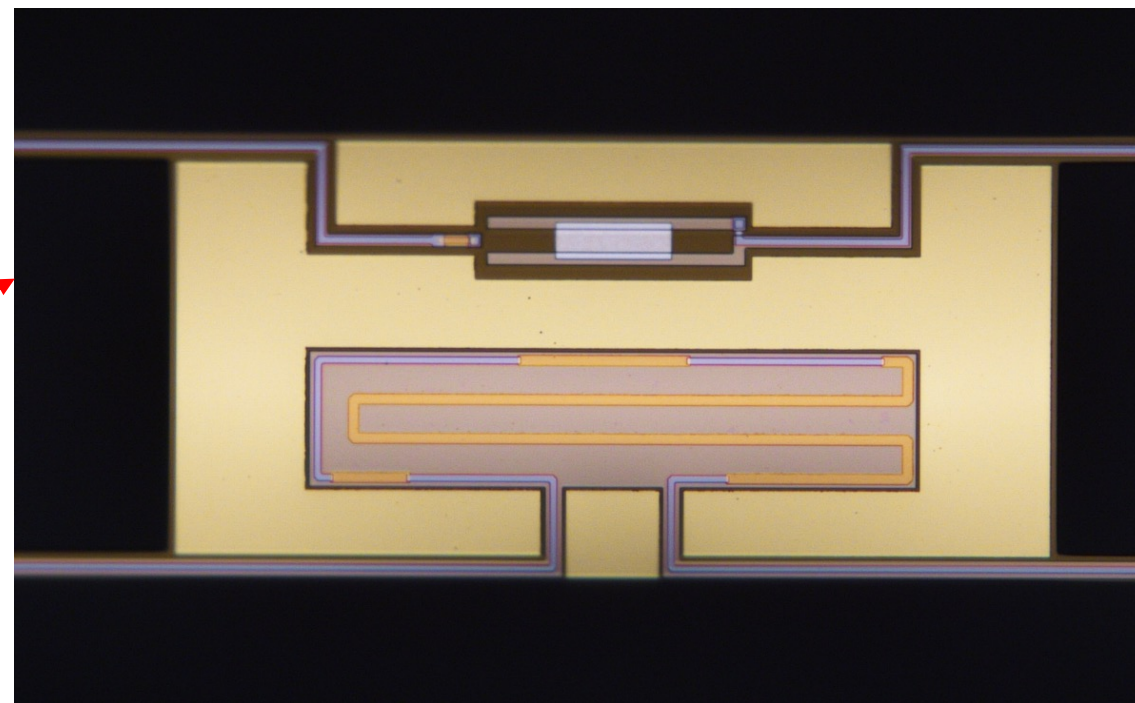
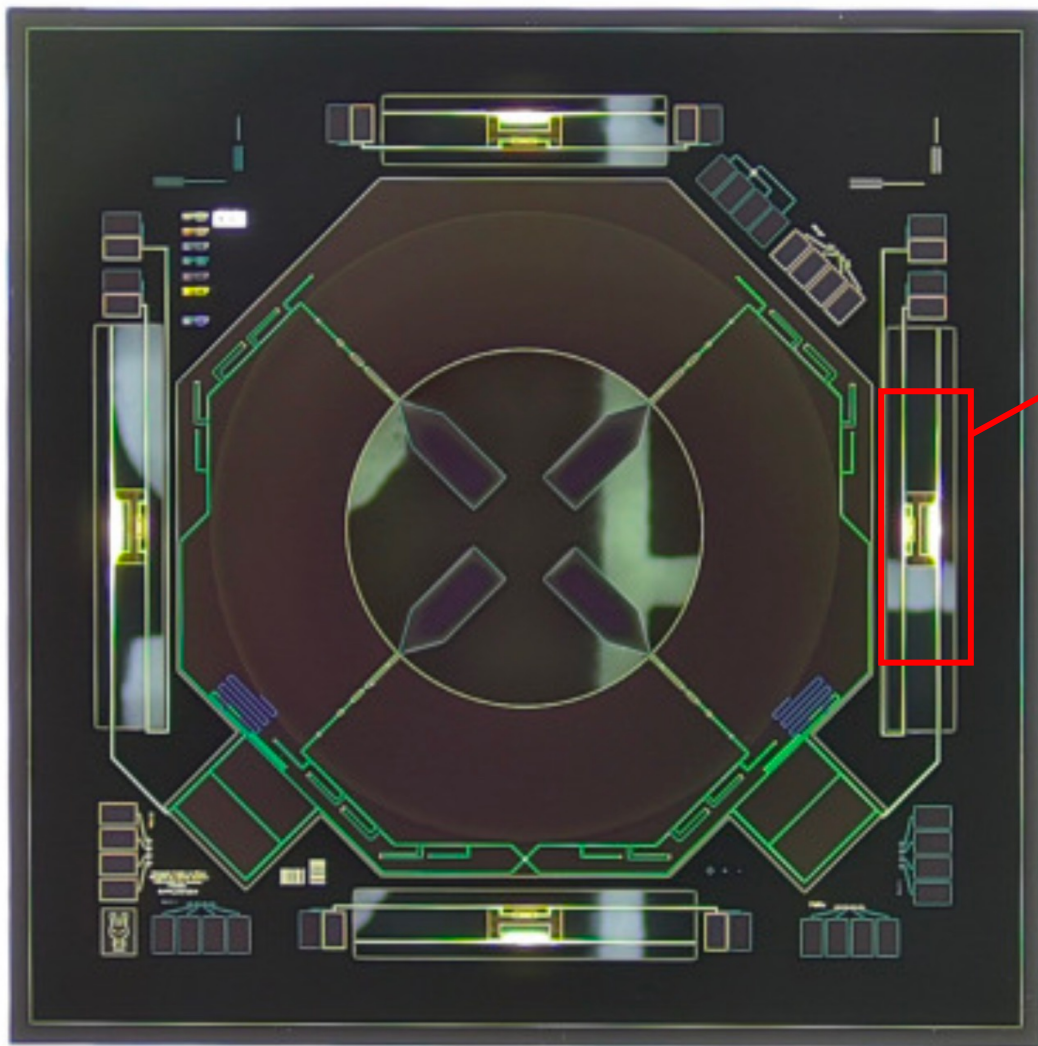
RIKEN, JPARC

2025/09

闫代康 - 中科院高能物理所

20

# 应用三：宇宙学-原初引力波



宇宙微波背景  
大爆炸后38万年

黑暗时代

星系形成

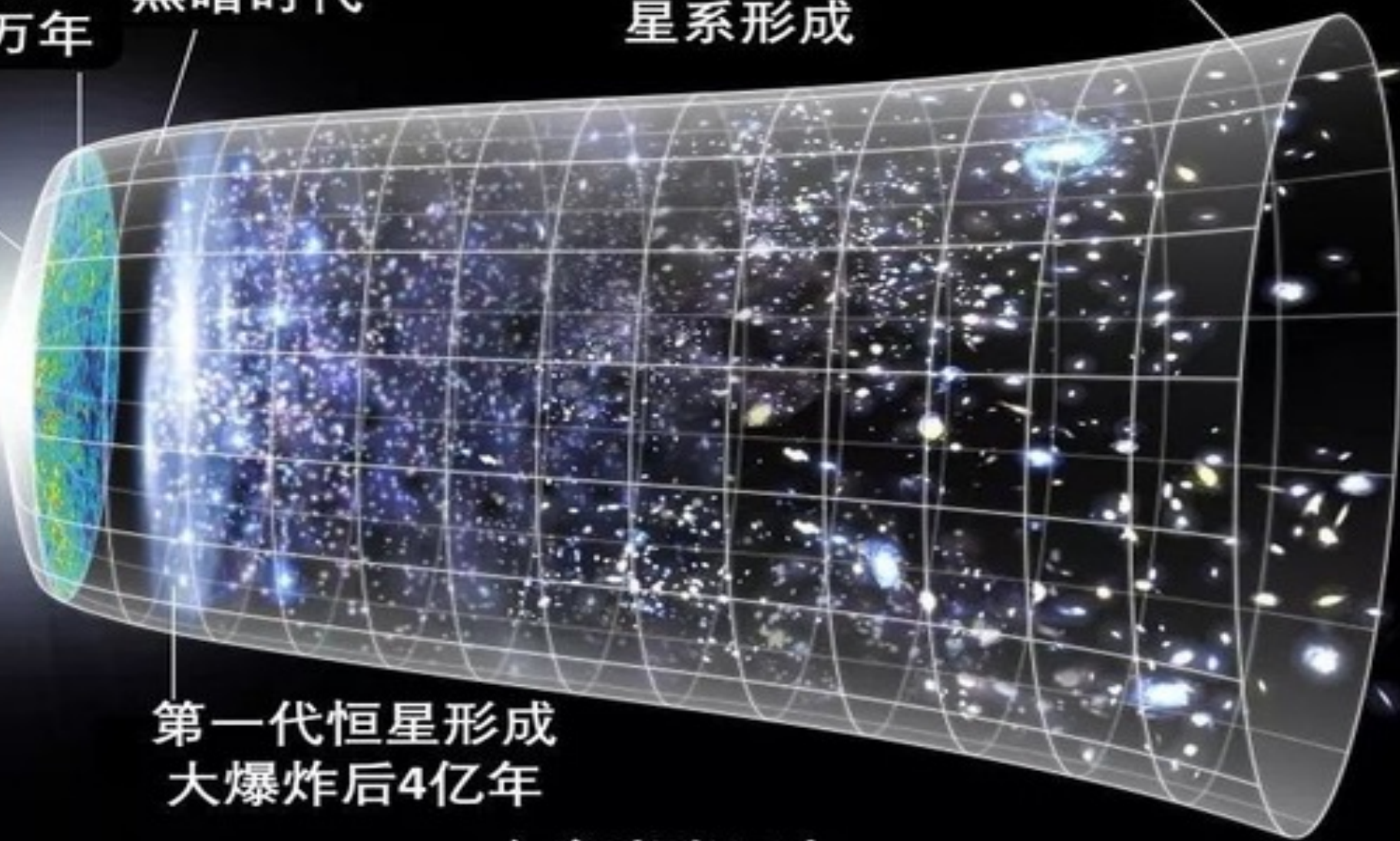
暗能量主导时期  
宇宙加速膨胀

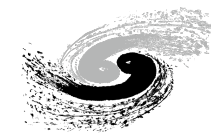
暴涨

大爆炸

第一代恒星形成  
大爆炸后4亿年

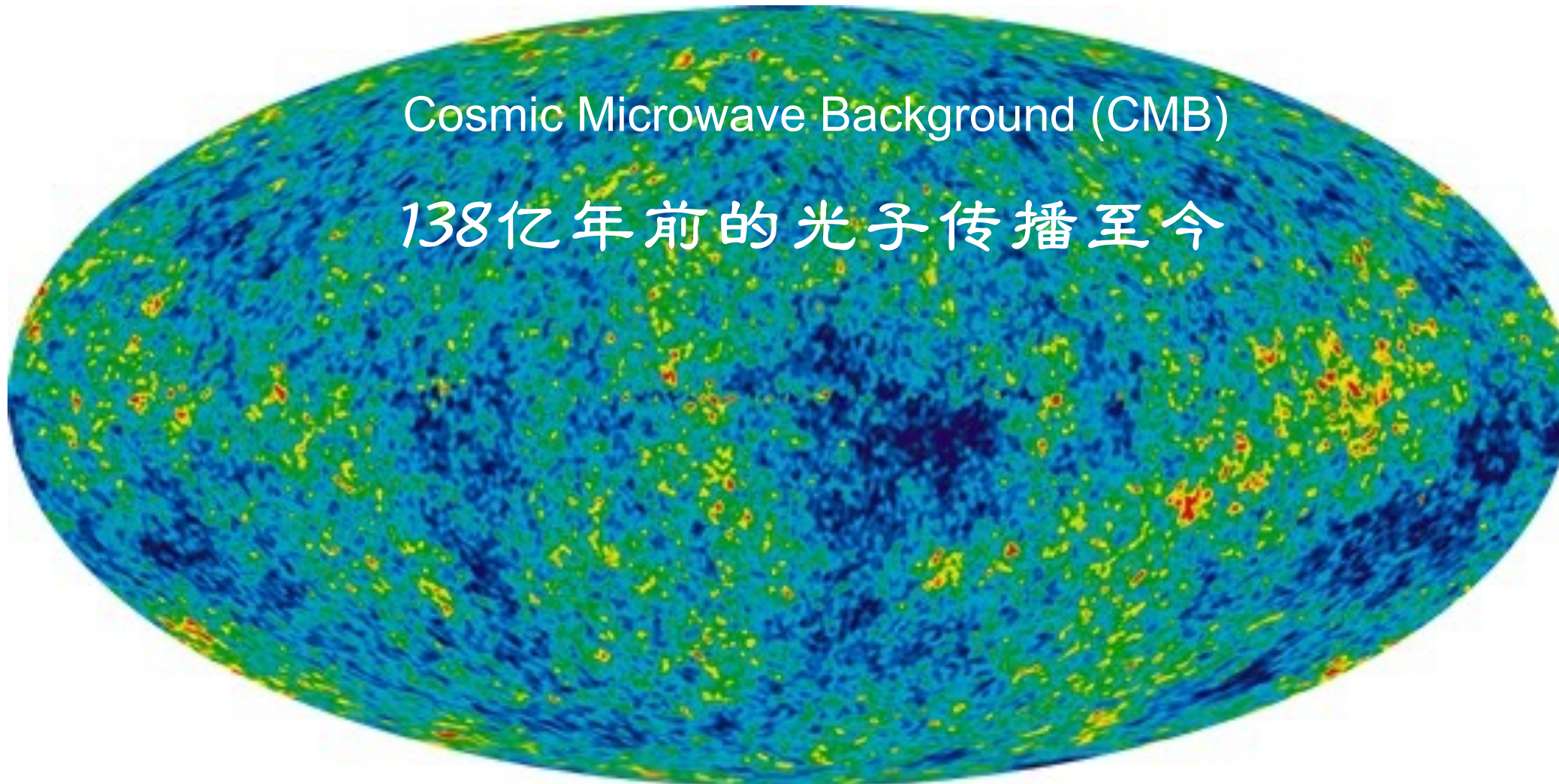
宇宙膨胀历史  
138亿年





Cosmic Microwave Background (CMB)

138亿年前的光子传播至今



Picture credit: Herbert Huffner, "The Beginning of the World We Know"



阿里原初引力波项目(AliCPT)，阿里地区，西藏，中国



★ 海拔5250m

◎ 阿斯塔纳

◎ 乌兰巴托

◎ 漠河

◎ 黑河

◎ 呼伦贝尔

◎ 哈尔滨

◎ 牡丹江

◎ 比什凯克

◎ 乌鲁木齐

◎ 吐鲁番

◎ 锡林浩特

◎ 通辽

◎ 长春

◎ 延吉

◎ 沈阳

◎ 平壤

◎ 首尔

◎ 和田

◎ 玉门

◎ 呼和浩特

◎ 北京

◎ 天津

◎ 大连

◎ 克什米尔

◎ 金昌

◎ 银川

◎ 石家庄

◎ 太原

◎ 济南

◎ 青岛

◎ 格尔木

◎ 西宁

◎ 兰州

◎ 西安

◎ 郑州

◎ 南京

◎ 上海

◎ 新德里

◎ 玉树

◎ 汉中

◎ 洛阳

◎ 南阳

◎ 合肥

◎ 武汉

◎ 杭州

◎ 宁波

◎ 拉萨

◎ 日喀则

◎ 昌都

◎ 成都

◎ 重庆

◎ 宜昌

◎ 长沙

◎ 南昌

◎ 福州

◎ 台北

◎ 加德满都

◎ 廷布不丹

◎ 乐山

◎ 西昌

◎ 贵阳

◎ 衡阳

◎ 赣州

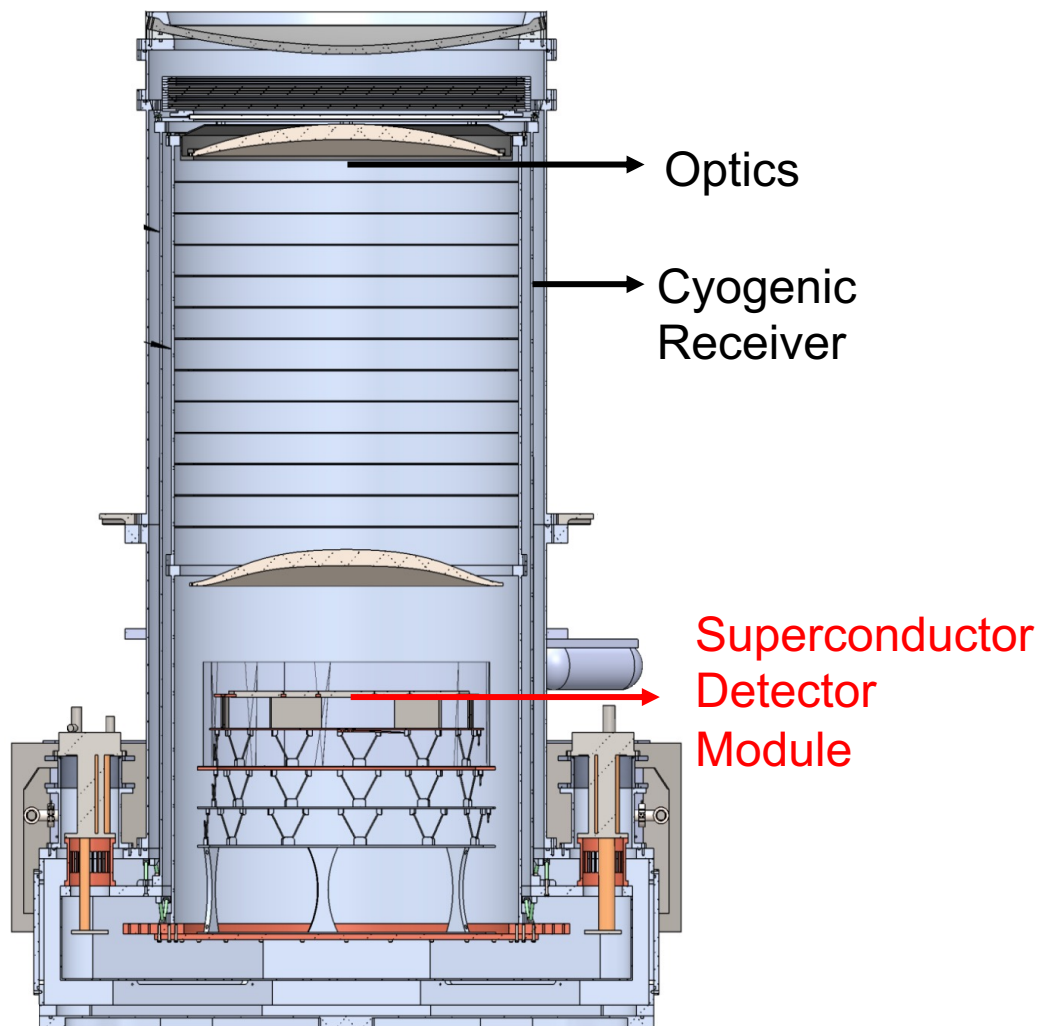
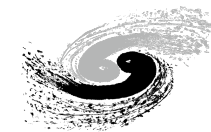
◎ 钓鱼岛

◎ 赤尾屿群

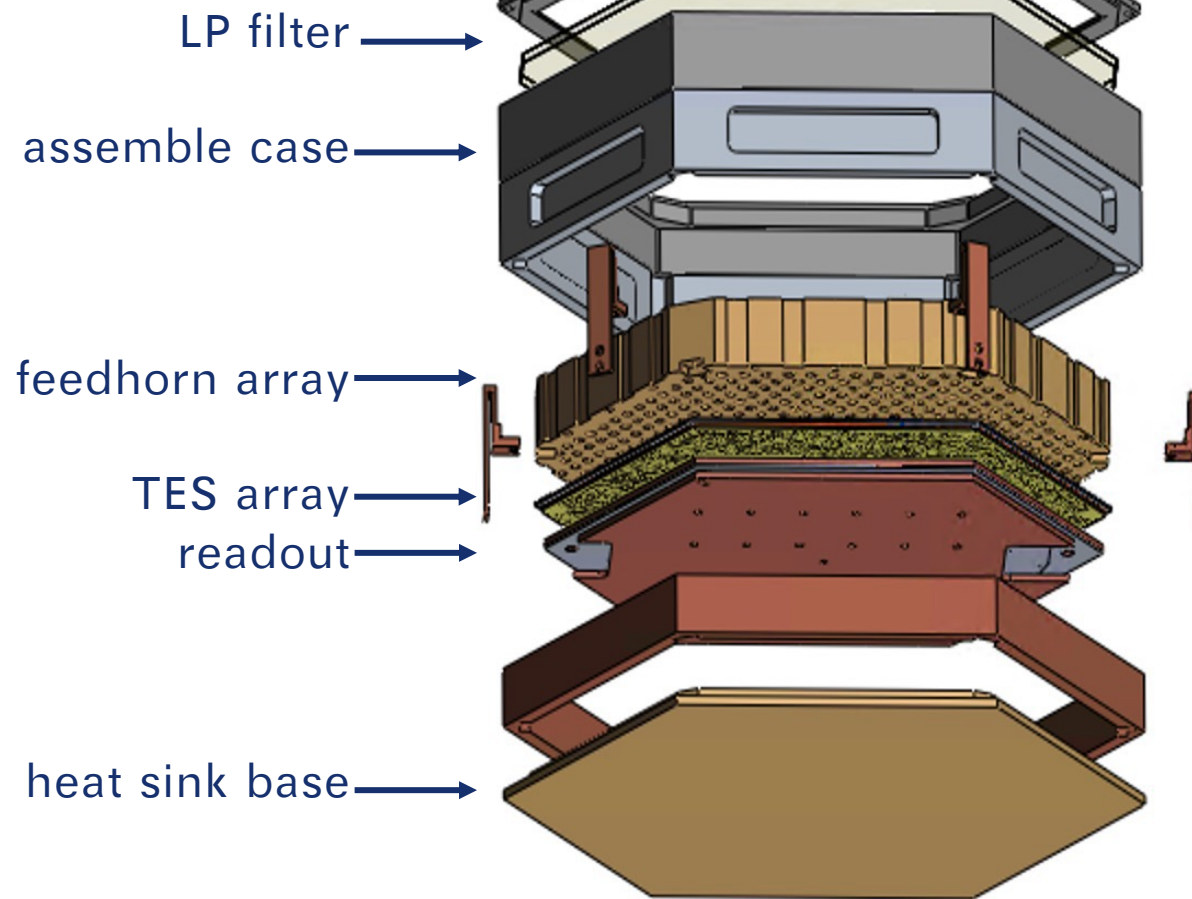
北回归线

北回归线

# 应用三：宇宙学-原初引力波

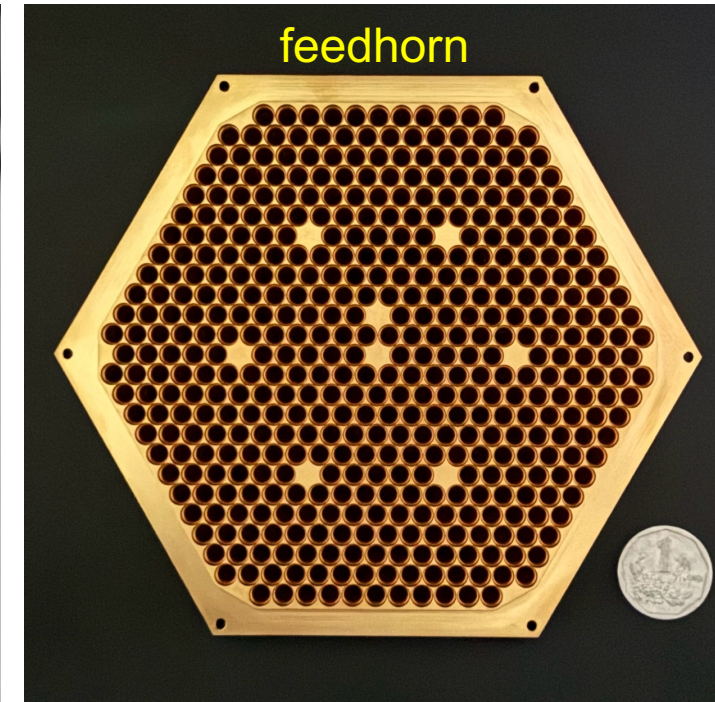
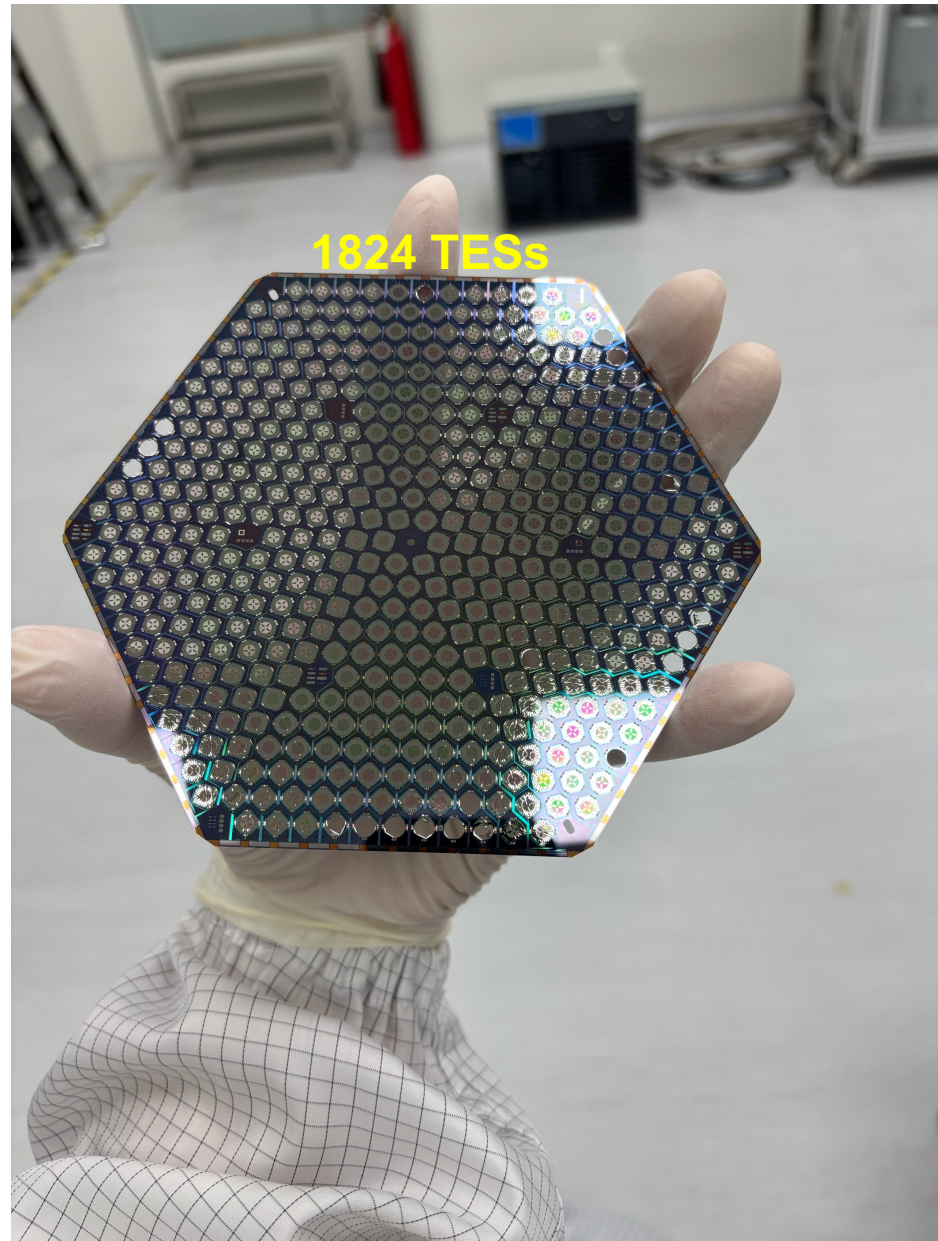
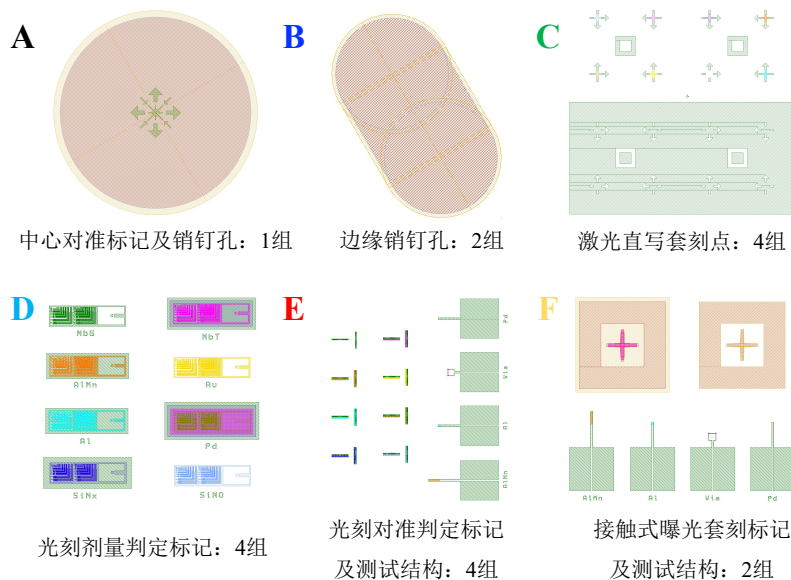
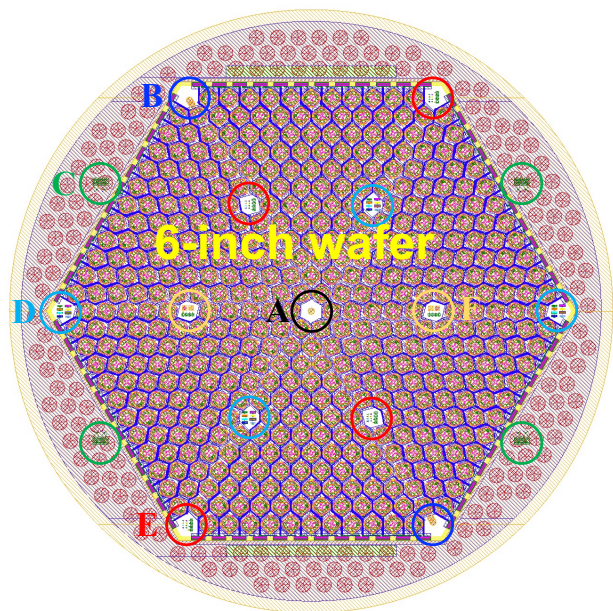


picture credit: Maria Salatino



picture credit: 李雅琼

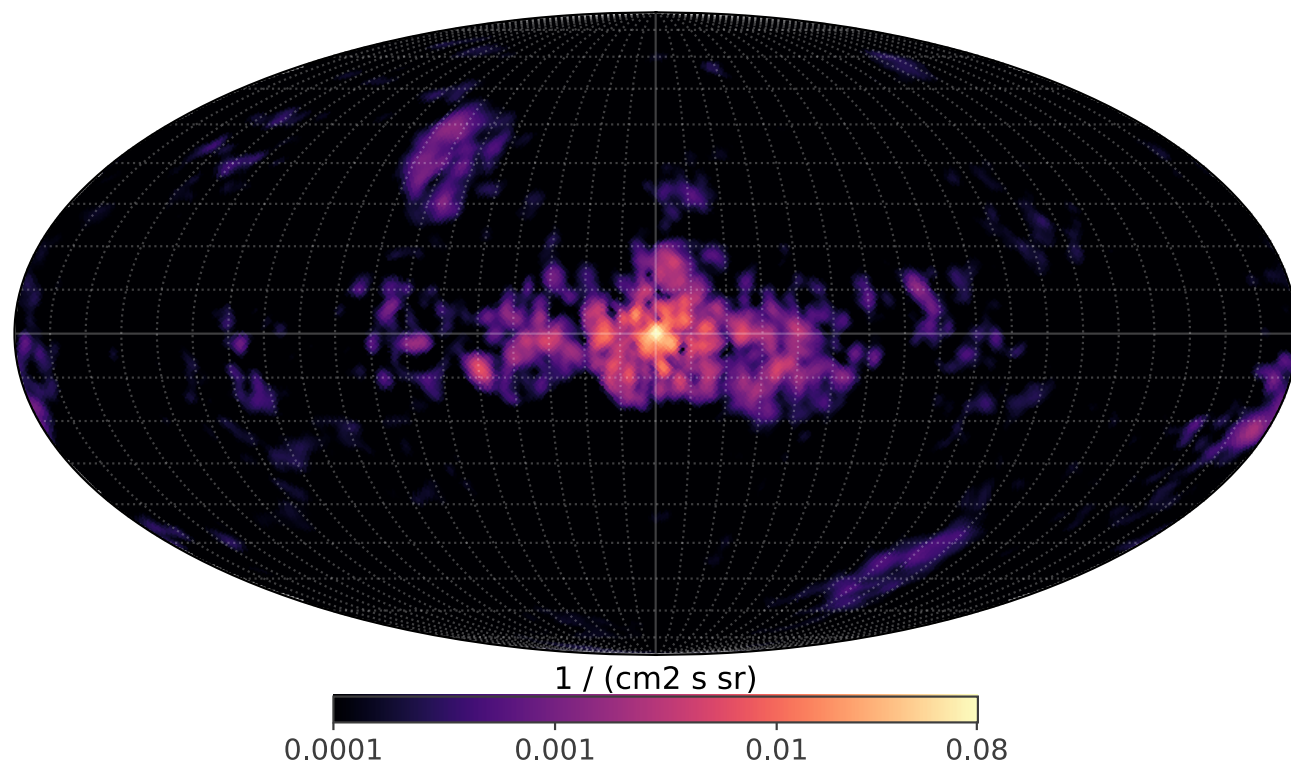
# 应用三：宇宙学-原初引力波



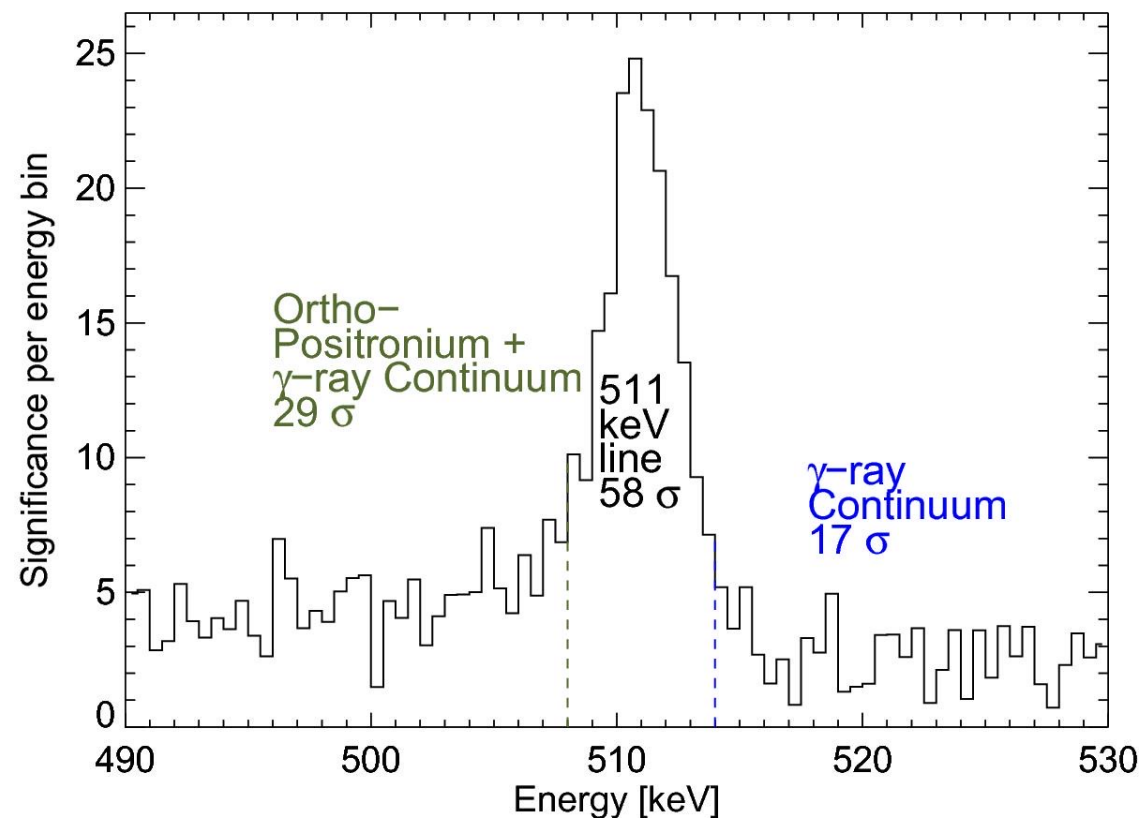
2026年安装第一个  
全国产  
探测器模块

## 银河系中心正电子起源

1. 大质量黑洞; 2. 暗物质; 3. 原初黑洞

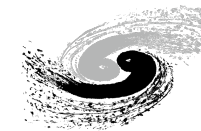


Latest result from INTEGRAL/SPI

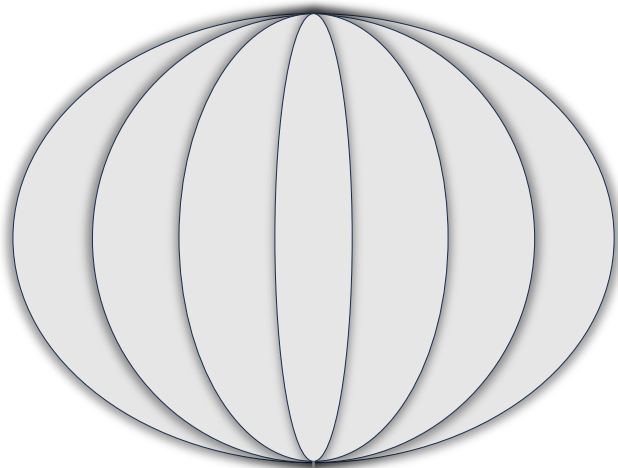


Siegert, 2016

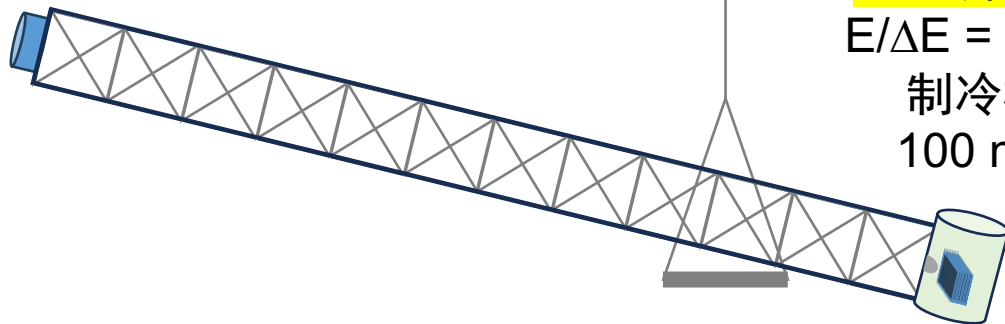
# 应用四：高能天文



高空气球  
30 km ~ 40 km



劳厄透镜  
450 keV ~ 550 keV

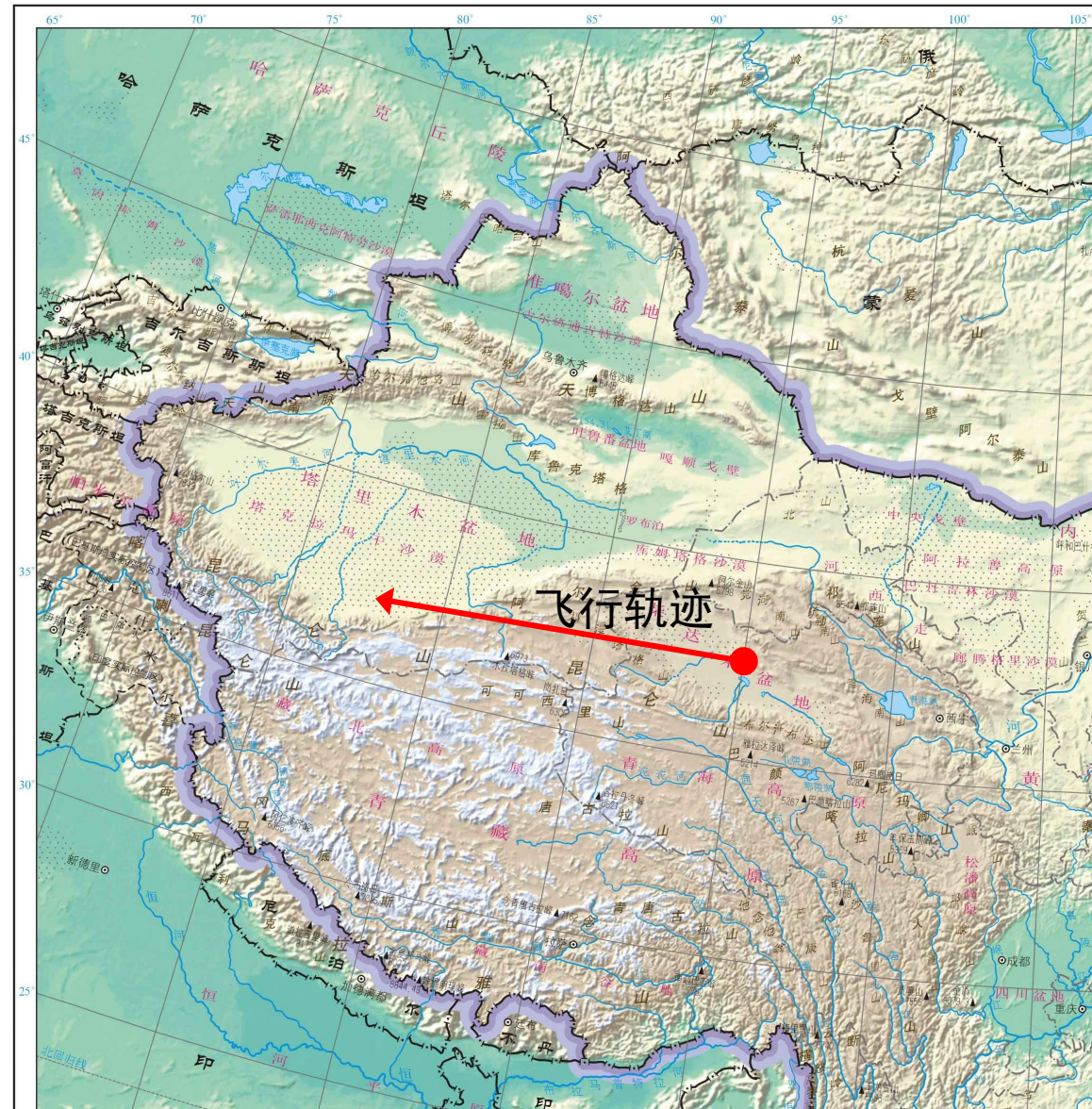


TES 探测器

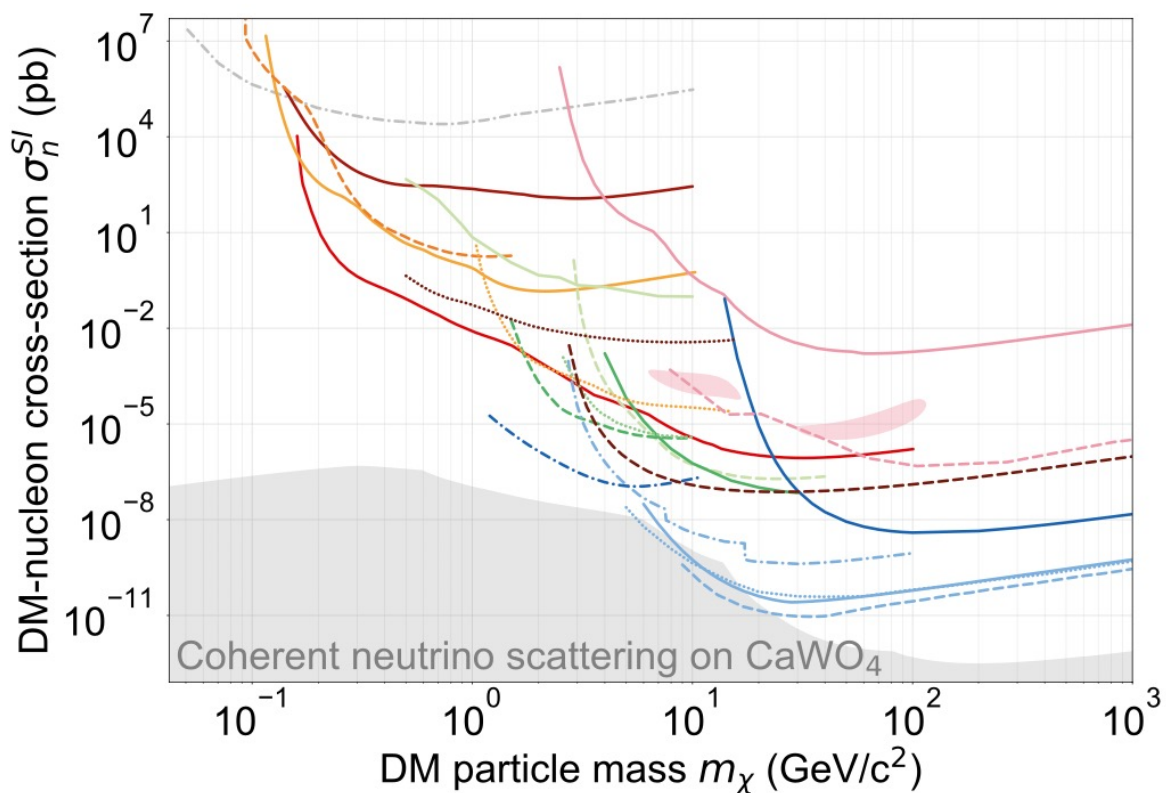
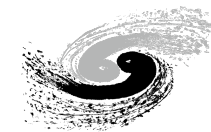
$E/\Delta E = 1000$

制冷机

100 mK

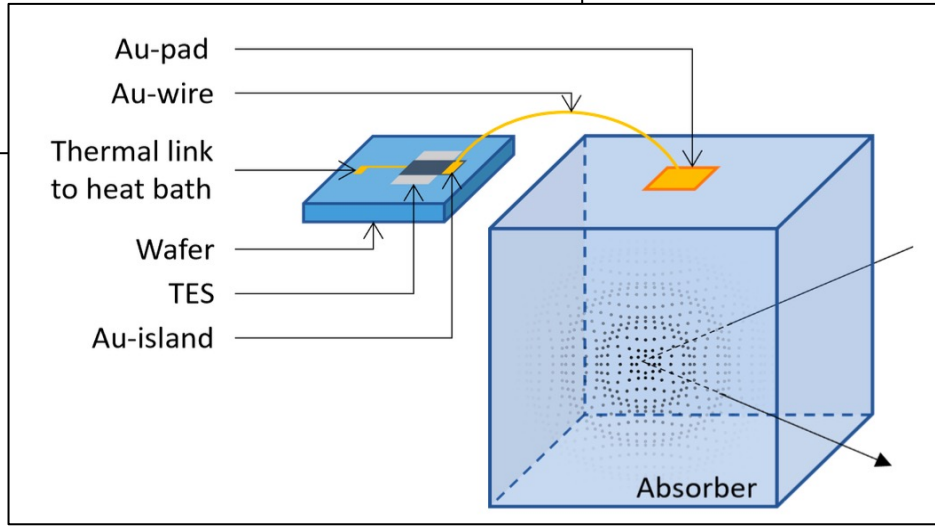


# 应用五：暗物质

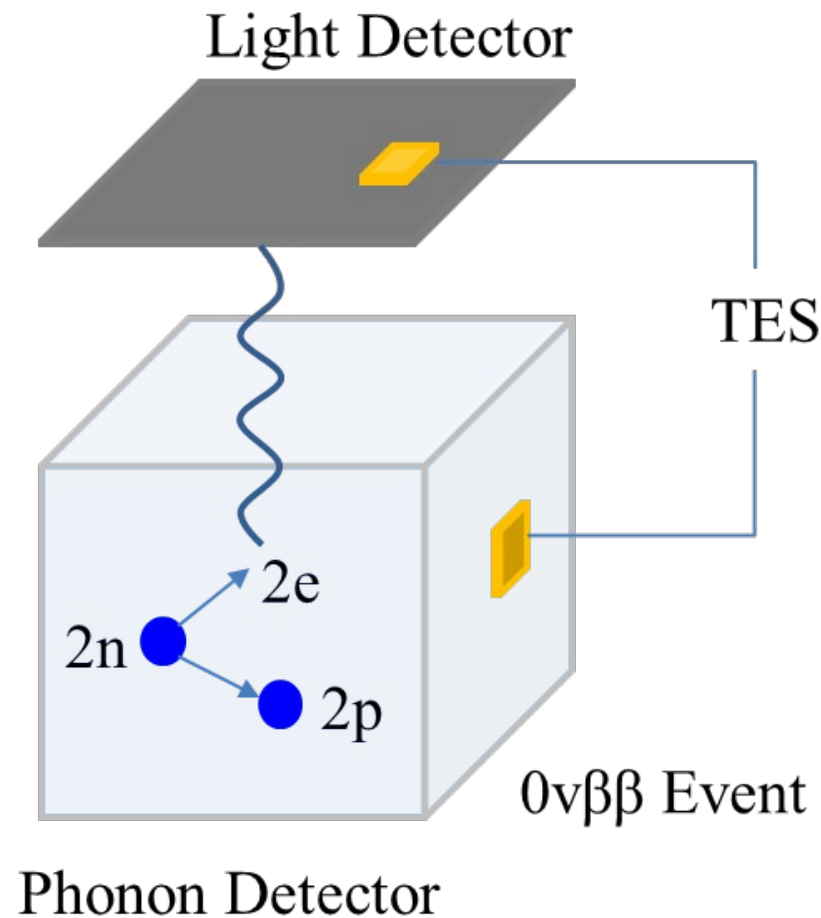
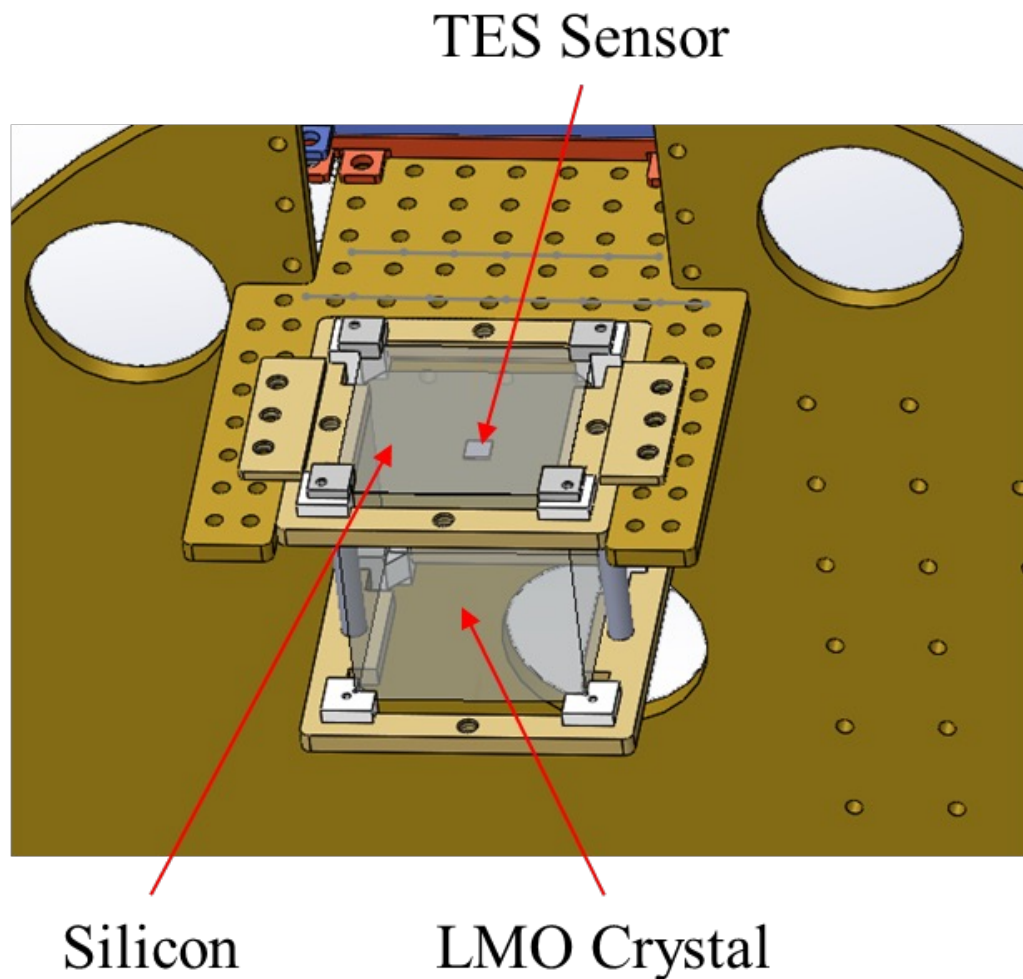
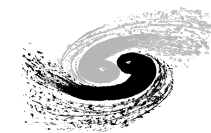


- | Cryogenic Detectors:                              | Other technologies:                          |
|---|--|
| — CRESST-III CaWO <sub>4</sub> 2019               | — DEAP-3600 LAr 2019                         |
| — CRESST-III Si 2023                              | — PandaX-4T LXe 2021                         |
| — CRESST-surf Al <sub>2</sub> O <sub>3</sub> 2017 | — LUX-ZEPLIN LXe 2023                        |
| — SuperCDMS-CPD Si 2020                           | — XENONnT LXe 2023                           |
| — SuperCDMS Ge 2014                               | — XENON1T S2 LXe 2019                        |
| — CDMSLite Ge 2019                                | — DarkSide-50 S2 LAr 2023                    |
| — EDELWEISS-III Ge 2016                           | — CDEX-10 Ge 2018                            |
| — EDELWEISS-surf Ge 2019                          | — DAMIC Si 2020                              |
| — COSINUS NaI 2023                                | — NEWS-G Ne 2018                             |
|   | — PICO-60 C <sub>3</sub> F <sub>8</sub> 2019 |
|   | — Collar H 2018                              |
|   | — COSINE-100 NaI 2021                        |
|   | — DAMA/LIBRA 3σ NaI 2009                     |

M. Kaznacheeva and K. Schaffner,  
arXiv:2406.12887v1



# 应用六: $0\nu\beta\beta$ 衰变



Picture credit: 张翼飞, IHEP

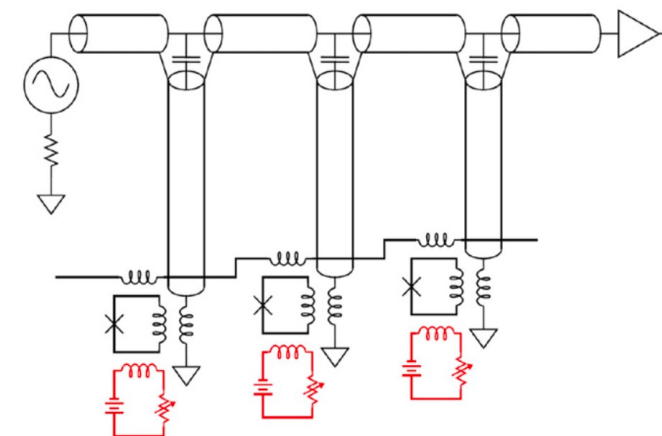
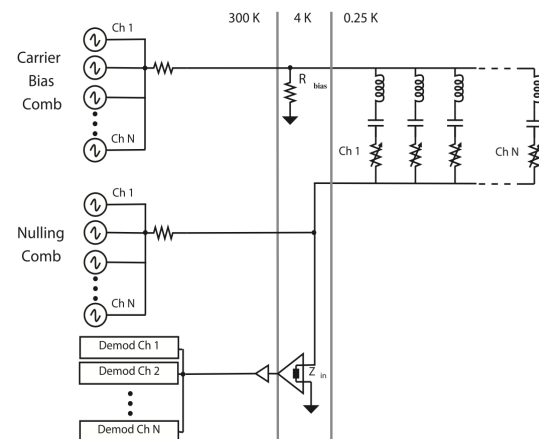
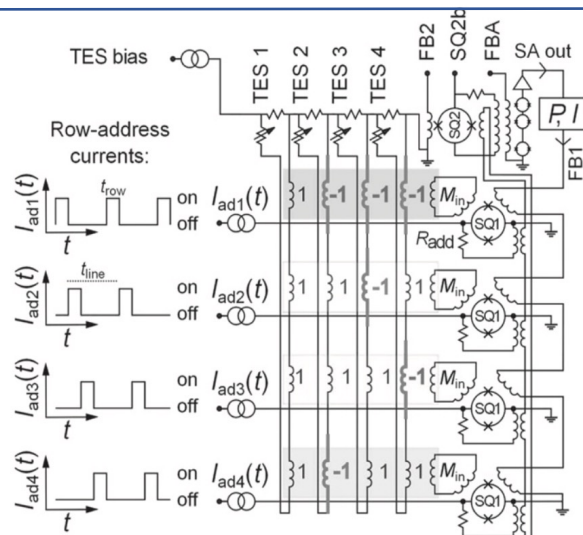
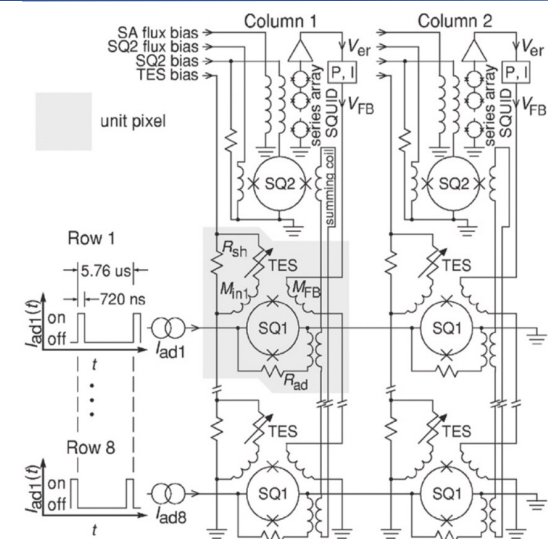
# 欢迎探讨

欢迎探讨

和报考



# 低温复用读出



Joel N Ullom and Douglas A Bennett 2015 *Supercond. Sci. Technol.* **28** 084003

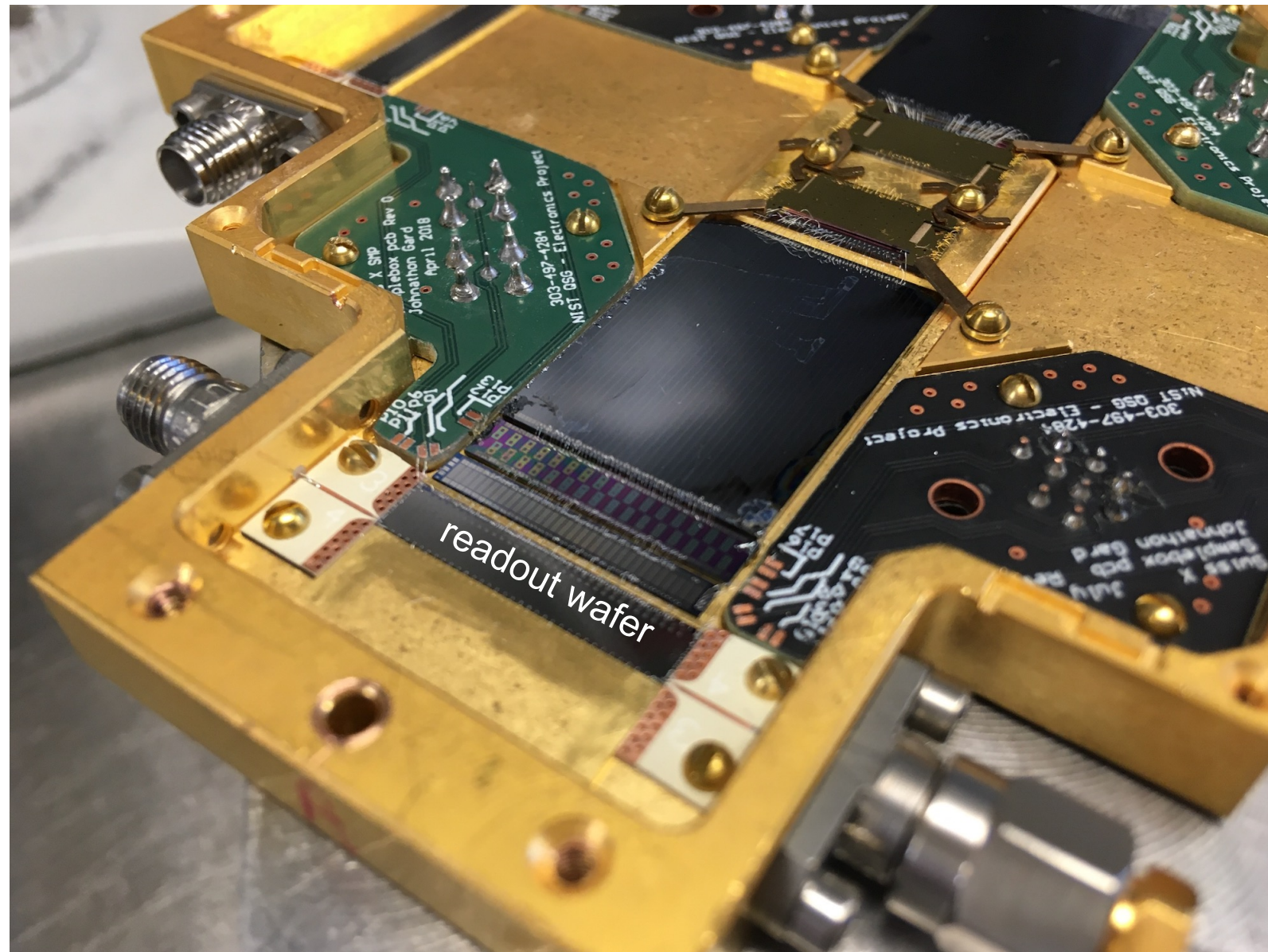
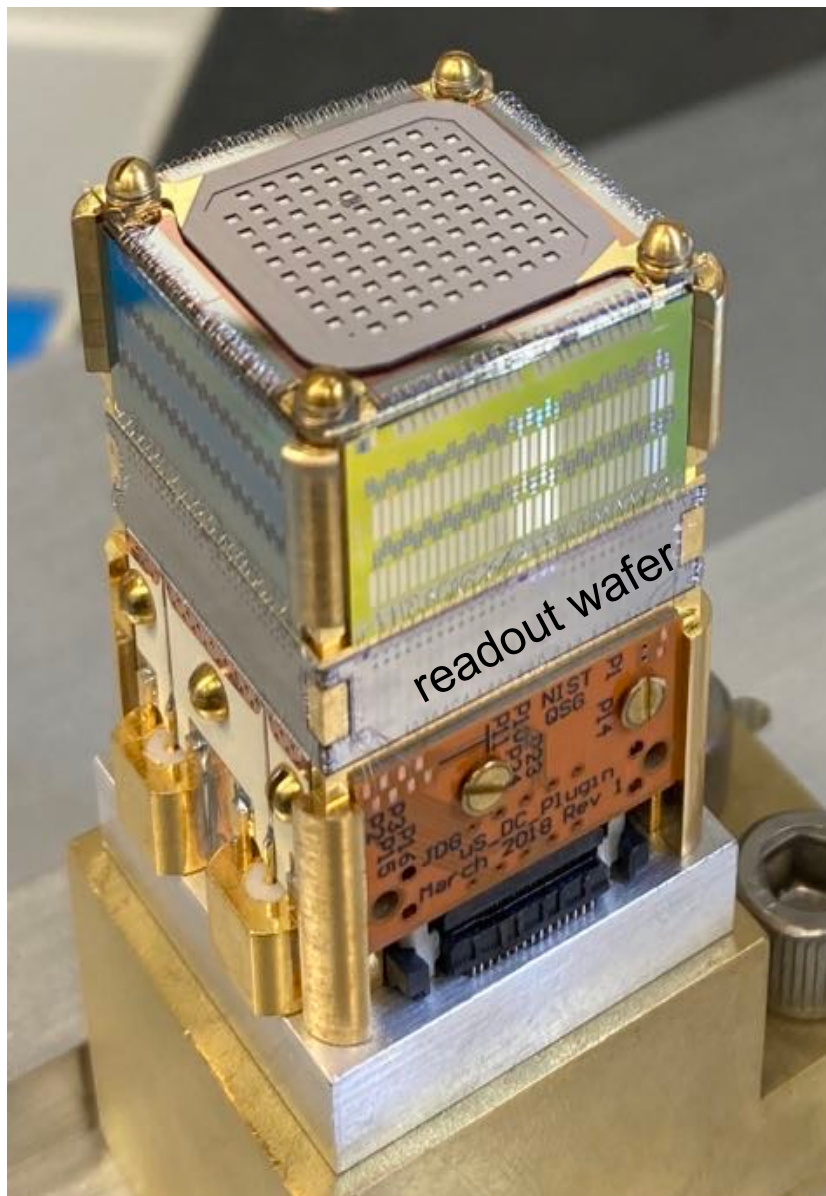
	time-division multiplexing	code-division multiplexing	frequency-division multiplexing	microwave-squid multiplexing
Mechanism	pixels in the same column are read out in time series	signals from each pixel are encoded and read out	each pixel is biased in a unique LCR circuit, and detected in a unique frequency channel	TES signal coupled to rf-SQUID, then readout by microwave resonators
Advantage	well-developed technology	each pixel can be biased individually	each pixel can be biased individually	large readout bandwidth, only uses 3 pairs of cables for the whole detector module
Disadvantage	$\sqrt{N}$ sampling noise	one bad pixel kills a whole column	complicated matching between TESs and the readout electronics	pixels are not individually biased, subject to nonuniformity across large arrays

# 整体封装

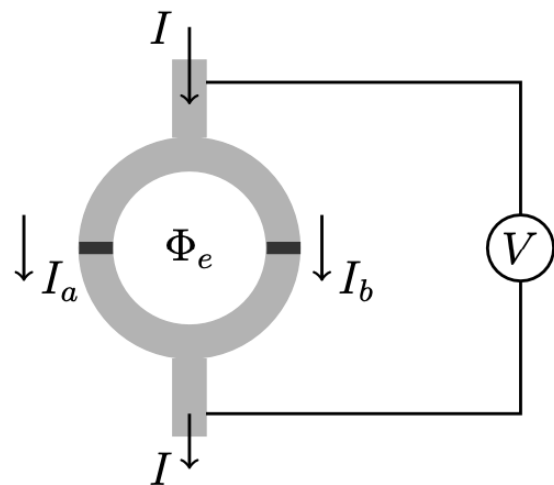


中国科学院高能物理研究所

Institute of High Energy Physics, Chinese Academy of Sciences



### DC-SQUID



### RF-SQUID

